

Vol. 14/ No. 54/Winter 2025

Research Article

Design and Implementation of a 16-bit Multi-Mode Delta-Sigma Digital-to-Analog Converter with Time-Interleaved Structure, Multi-Channel, and Compensation of Non-Idealities Based on FPGA

Abolfazl Roshanpanah, PhD Student ¹  | Pooya Torkzadeh, Assistant Professor ²  | Khosrow Hajsadeghi, Associate professor ³  | Massoud Dousti, Associate professor ⁴ 

¹Department of Electrical and Computer Engineering, Science and Research Branch, Islamic Azad University, Tehran, Iran, a.roshanpanah@srbiau.ac.ir

²Department of Electrical and Computer Engineering, Science and Research Branch, Islamic Azad University, Tehran, Iran, p-torkzadeh@srbiau.ac.ir

³Department of Electrical Engineering, Sharif University of Technology, Tehran, Iran, ksadeghi@sharif.edu

⁴Department of Electrical and Computer Engineering, Science and Research Branch, Islamic Azad University, Tehran, Iran, m_dousti@srbiau.ac.ir

Correspondence

Pooya Torkzadeh, Assistant Professor of Electrical and Computer Engineering, Science and Research Branch, Islamic Azad University, Tehran, Iran, Email: p-torkzadeh@srbiau.ac.ir

Received: 11 March 2024

Revised: 7 April 2024

Accepted: 20 April 2024

Abstract

In this research, a 16-bit multi-mode second-order Delta-Sigma Modulator-Digital-to-Analog Converter (DSM-DAC) with a time-interleaved (TI) structure operating at a center frequency of 4 GHz and a bandwidth of 20 MHz has been implemented using VHDL on an FPGA platform. The proposed architecture utilizes a single clock frequency for generating RF signals. The second-order DSM is reconfigurable, offering three filter modes: LP, BP at $F_s/4$, and HP for signal synthesis. Since the coefficients remain simple for all modes, multiplication operations can be achieved using a shifter block. To investigate the effect of duty-cycle-error (DCE) and its compensation, various error values are applied to the modulator and compensation is performed. A novel solution is proposed to overcome the DCE by adjusting the filter and unilaterally narrowing the signal passband without adding extra hardware complexity. This approach significantly enhances the SNDR and SFDR of the DSM output, even for the BP mode. Another challenge is the mismatch error in DAC cells. This error is simulated and compensated using two methods: DWA and SDEM. Simulation results in ISE demonstrate that the SNDR values for LP, BP, and HP modes are 106.10, 105.65, and 104.95 dB, respectively.

Keywords: Delta-sigma modulator, Duty-cycle-error, Error-feedback, FPGA, Mismatch, Time-interleaved.

Highlights

- A 16-bit multi-mode digital-to-analog converter with a time-interleaved structure at a frequency of 4 GHz.
- Only one clock frequency is used to generate the radio frequency signal.
- There are simple coefficients for all cases, the multiplication operation can be performed using a shifter block.
- Two dominant errors in TI-DSM-DACs (mismatch and duty-cycle-error (DCE)) have been compensated
- A new method is proposed to remove the effect of signal image in BP mode, instead of using complex circuits.

Citation: A. Roshanpanah, P. Torkzadeh, Kh. Hajsadeghi, and M. Dousti "Design and Implementation of a 16-bit Multi-Mode Delta-Sigma Digital-to-Analog Converter with Time-Interleaved Structure, Multi-Channel, and Compensation of Non-Idealities Based on FPGA," Journal of Southern Communication Engineering, vol. 14, no. 54, pp. 93–117, 2025, doi:10.30495/jce.2025.1993480.1330, [in Persian].

مقاله پژوهشی

طراحی و پیاده سازی مبدل دیجیتالی به آنالوگ دلتا-سیگما ۱۶ بیتی چند حالتی با ساختار بهم ریخته زمانی چند کاناله و جبران سازی غیرآرمانی آن مبتنی بر FPGA

ابوالفضل روشن پناه^۱ | پویا ترکزاده^{۲*} | خسرو حاج صادقی^۳ | مسعود دوستی^۴

چکیده:

در این مقاله، یک مبدل دیجیتالی به آنالوگ دلتا-سیگما درجه دوم (DSM-) (DAC) ۱۶ بیتی چند حالتی با ساختار بهم ریخته زمانی (TI) در فرکانس مرکزی ۴ گیگاهرتز و با پهنای باند ۲۰ مگاهرتز به زبان توصیف سخت افزاری (VHDL) مبتنی بر FPGA پیاده سازی شده است. معماری پیشنهادی تنها از یک فرکانس کلاک برای تولید سیگنال های فرکانس رادیویی (RF) استفاده می کند. مدولاتور دلتا-سیگما (DSM) درجه دوم با توانایی تنظیم مجدد دارای سه حالت پایین گذر (LP)، میانگذر (BP) در فرکانس $F_s/4$ و بالاگذر (HP) برای سنتز سیگنال است. برای افزایش فرکانس نمونه برداری (F_s)، ساختار ۴ کاناله TI پیشنهاد شده است که هر کدام از کانالها در فرکانس $F_s/4$ کار می کنند. از آنجایی که ضرایب ساده برای همه حالتها وجود دارد، عملیات ضرب را می توان با استفاده از یک بلوک شیفت دهنده انجام داد. یک چالش مهم در طراحی این نوع ساختارها، خطای چرخه وظیفه (DCE) است. برای غلبه بر اثر خطای DCE، با تنظیم مدار فیلتر و یکطرفه کردن باند فرکانسی عبور سیگنال بدون اضافه کردن سخت افزار اضافی و پیچیدگی مداری، راه حل جدیدی پیشنهاد شده است. در این روش با حذف اثر تصویر سیگنال مقادیر SNDR و SFDR حتی برای حالت BP به طور قابل توجهی افزایش می یابد. چالش دیگر خطای عدم تطابق سلول های DAC است. این خطا به دو روش میانگین گیری وزنی داده ها (DWA) و مرتب سازی تطبیق عناصر پویا (SDEM) جبران سازی شده است. نتایج شبیه سازی در ISE نشان می دهد که مقدار SNDR برای حالت های LP، BP و HP به ترتیب برابر با ۱۰۶/۱۰، ۱۰۵/۶۵ و ۱۰۴/۹۵ dB است.

کلید واژه ها: بهم ریختگی زمانی، خطای چرخه وظیفه، ساختار پس خور - خطا، عدم تطابق سلول ها، مدولاتور دلتا-سیگما، FPGA.

^۱ دانشکده مهندسی برق و کامپیوتر، واحد علوم و تحقیقات، دانشگاه آزاد اسلامی، تهران، ایران، a.roshanpanah@srbiau.ac.ir

^۲ دانشکده مهندسی برق و کامپیوتر، واحد علوم و تحقیقات، دانشگاه آزاد اسلامی، تهران، ایران، p-torkzadeh@srbiau.ac.ir

^۳ دانشکده مهندسی برق، دانشگاه صنعتی شریف، تهران، ایران، ksadeghi@sharif.edu

^۴ دانشکده مهندسی برق و کامپیوتر، واحد علوم و تحقیقات، دانشگاه آزاد اسلامی، تهران، ایران، m_dousti@srbiau.ac.ir

نویسنده مسئول

*پویا ترکزاده، استادیار، دانشکده مهندسی برق و کامپیوتر، واحد علوم و تحقیقات، دانشگاه آزاد اسلامی، تهران، ایران، p-torkzadeh@srbiau.ac.ir

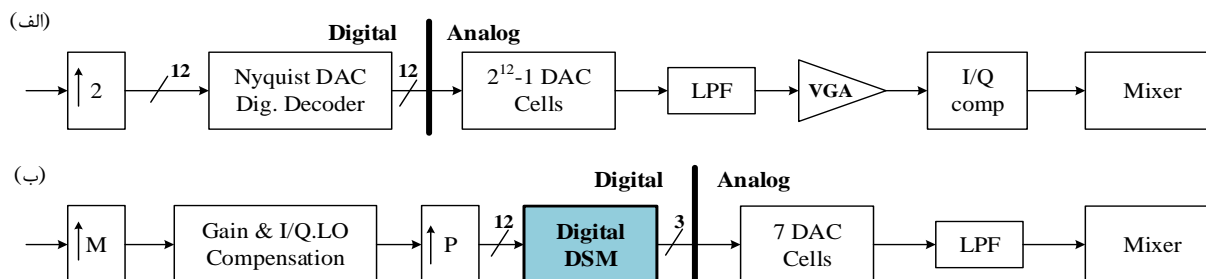
تاریخ دریافت: ۲۱ اسفند ۱۴۰۲

تاریخ بازنگری: ۱۹ فروردین ۱۴۰۳

تاریخ پذیرش: ۱ اردیبهشت ۱۴۰۳

۱-مقدمه

در سال‌های اخیر معماری مبدل‌های دیجیتال به آنالوگ^۱ (DAC) برای سیستم‌های ارتباطی بی‌سیم پیشرفت چشمگیری داشته است. افزایش تقاضا برای تبادل داده با نرخ بالاتر و طراحی سیستم‌های انعطاف‌پذیر در ارتباطات بی‌سیم از دلایل توجه ویژه به رادیوهای تعریف‌شده با نرم‌افزار^۲ (SDRs) هستند [۱-۴].



شکل ۱: (الف) یک مبدل دیجیتال به آنالوگ (DAC) Nyquist در یک فرستنده متداول و (ب) یک DAC دلتا-سیگما در یک فرستنده باند پایه دیجیتال [۵].
Figure 1. (a) A Nyquist digital-to-analog converter (DAC) in a traditional transmitter and (b) a delta-sigma DAC in a digital baseband transmitter.

استانداردهای ارتباطات بی‌سیم، مبدل‌های دیجیتال به آنالوگ نایکوئیست^۳ فرکانس رادیویی^۴ (RF-DACs) به منظور برآورده کردن الزامات سختگیرانه سطح نویز توسعه یافته‌اند [۳]. با این حال، دستیابی به وضوح بالا در DACهای فرکانس نایکوئیست پیچیدگی مدارهای آنالوگ و دیجیتال را افزایش می‌دهد و منجر به عدم تطابق و کاهش خطیگی^۵ می‌شود [۶، ۷]. چندین روش کالیبراسیون و اصلاح پیشنهاد شده است [۸-۱۲]، اما آنها اغلب به تعداد زیادی سلول و زمان کالیبراسیون نیاز دارند که عملکرد طرح‌ها را محدود می‌کند [۱۳]. در مطالعه حاضر مرور کوتاهی بر ساختارها و روش‌های جدید DAC با رویکرد غلبه بر محدودیت‌های معماری‌های قبلی می‌شود.

شکل ۱ DACهای نرخ نایکوئیست و دلتا سیگما^۶ را نشان می‌دهد. از نمونه‌های شناخته شده‌ی معماری‌های جدید DACها، می‌توان DACهای بازگشتی چندگانه به صفر^۷ (MRZ)، DACهای Mix-Mode و DACهای با ساختار بهم‌ریخته زمانی^۸ (TI-DAC) را نام برد. TI-DAC و MRZ DACs راه‌حلی برای سنتز مستقیم سیگنال در فرکانس رادیویی (RF) ارائه می‌دهند، اما به نرخ سوئیچینگ بالایی نیاز دارند [۱۴-۲۰]. علاوه بر این، TI-DACها سیگنال‌های تصویر^۹ را حذف می‌کنند و هارمونیک‌ها را با ترکیب چند DAC با جابجایی فاز حذف می‌کنند [۲۱]. این روش پهنای باند و وضوح را افزایش می‌دهد، اما با چالش‌هایی مانند مساحت تراشه بزرگ‌تر و مصرف انرژی بیشتر همراه است [۳، ۵، ۲۱-۲۳]. روش‌هایی مانند بهم‌ریختگی زمانی^{۱۰} (TI) [۵، ۲۲، ۲۳]، برون‌یابی پیش‌فرض دیجیتال^{۱۱} [۲۴] و پیش‌اعوجاج دیجیتال^{۱۲} (DPD) [۲۵] برای بهبود عملکرد و خطیگی معرفی و استفاده می‌شوند. هدف معماری‌های پیشنهادی دستیابی به نرخ داده‌های بالا، سنتز محدوده فرکانس وسیع و کاهش پیچیدگی سخت‌افزار است.

¹ Digital-to-Analog Convertors

² Software-Defined Radio

³ Nyquist

⁴ Radio Frequency Digital-to-Analog Convertors

⁵ Linearity

⁶ Delta-Sigma

⁷ Multiple return-to-zero

⁸ Time-Interleaved Digital-to-Analog Convertors

⁹ Image Signals

¹⁰ Time-Interleaved

¹¹ Digital Feed-Forward Extrapolation

¹² Digital Pre-Distortion

DAC های مدولاتور دلتا سیگما^۱ با ساختار بهم‌ریخته‌ی زمانی (TI-DSM-DAC) در فرستنده‌های رادیویی انعطاف پذیر مورد توجه هستند. زیرا می‌توانند سرعت بخش دیجیتالی مدولاتور را برای استفاده با نرخ کلاک بالا افزایش دهند و پیچیدگی آنالوگ را ساده کنند. علاوه بر این، به دلیل ماهیت بیش نمونه‌برداری، قادرند مرتبه فیلتر بازسازی آنالوگ را (که پس از DAC قرار دارد) کاهش دهند. فرکانس کاری ۴ گیگاهرتز در مخابرات بی‌سیم معمولاً برای کاربردهایی استفاده می‌شود که نیاز به پهنای باند بالا و انتقال داده‌های سریع دارند. این فرکانس برای شبکه‌های وای‌فای، سیستم‌های مخابراتی نظامی، رادارها، و برخی از سیستم‌های ماهواره‌ای کاربرد دارد. همچنین، در محیط‌هایی که تداخل فرکانسی کمتری وجود دارد، می‌توان از این فرکانس برای افزایش کیفیت ارتباطات بی‌سیم استفاده کرد. بنابراین، آنها نقش اساسی در توسعه استانداردهای ارتباطی مدرن مانند WiGig (IEEE 802.11ad) [۲۶]، ECMA-387 [۲۷]، Wireless HD [۲۸] و اخیراً نسل پنجم^۲ (5G) ارتباطات بی‌سیم دارند، که از باندهای فرکانسی محدوده‌ی بالای گیگاهرتز مانند ۲۸، ۳۸، ۶۴ و ۷۱ گیگاهرتز استفاده می‌کند [۲۹، ۳۰].

مطالعه حاضر به بررسی معماری‌های TI-DSM می‌پردازد، و پس از آرایه یک ساختار منحصر به فرد مدولاتور ۴ کاناله چند حالتی برای سه حالت پایین‌گذر^۳ (LP)، میان‌گذر^۴ (BP) و بالاگذر^۵ (HP)، آن را به زبان توصیف سخت افزاری^۶ (VHDL) و در ISE پیاده سازی می‌کند. خطای چرخه وظیفه^۷ (DCE) را به مدولاتور اعمال کرده و روش‌های جبران سازی مؤثری پیشنهاد می‌دهد. همچنین خطای عدم تطابق سلول‌های DAC^۸ را به منظور بررسی تأثیر آن بر عملکرد ساختار پیشنهادی اعمال کرده و سپس با دو روش میانگین‌گیری وزنی داده‌ها^۹ (DWA) [۳۱] و مرتب‌سازی تطبیق عناصر پویا^{۱۰} (SDEM) [۳۲] [۳۳] سعی در جبران سازی آن شده است.

این مقاله به شش بخش تقسیم می‌شود. در بخش دوم ساختار TI-DSM پیشنهادی ارائه می‌شود. بخش سوم به پیاده‌سازی معماری TI-DSM آرمانی^{۱۱} به زبان VHDL و در ISE می‌پردازد. در بخش چهارم پیاده‌سازی غیرآرمانی ناشی از DCE، روش‌های جبران‌سازی و حذف سیگنال‌های تصویر ارائه شده است. در بخش پنجم خطای عدم تطابق سلول‌های DAC را به منظور بررسی تأثیر آن بر عملکرد به ساختار پیشنهادی اعمال کرده و سپس با دو روش DWA و SDEM سعی در جبران‌سازی آن شده است. در نهایت بخش ششم به نتیجه‌گیری می‌پردازد. این مقاله بینش‌های ارزشمندی در مورد پیاده‌سازی و بهینه‌سازی معماری‌های TI-DSM و جبران‌سازی خطای DCE برای سیستم‌های ارتباطی بی‌سیم ارائه می‌دهد.

۲-مدولاتور دلتا-سیگما مرتبه دوم با ساختار بهم‌ریخته زمانی

طراحی یک ساختار چند حالتی با قابلیت عملکرد در فرکانس‌های پایین، متوسط و بالا دارای چالش‌های پیچیده‌ای است. اما به این ترتیب رویکرد مناسبی برای ایجاد یک DSM چند منظوره ارائه می‌شود. هدف پیاده‌سازی یک DSM چند حالتی ۱۶ بیتی با ساختار TI است که در فرکانس ۴ گیگاهرتز با پهنای باند ۲۰ مگاهرتز کار می‌کند. علاوه بر این، هدف طراحی، شناسایی خطاهای بالقوه و ایجاد یک رویکرد راهبردی جبران‌سازی برای آنها است.

¹ Delta-Sigma Modulators

² Fifth-Generation

³ Low-Pass

⁴ Band-Pass

⁵ High-Pass

⁶ Very High-Speed Integrated Circuit Hardware Description Language

⁷ Duty Cycle Error

⁸ Mismatch Error

⁹ Data Weighted Averaging

¹⁰ Sorted Dynamic Element Matching

¹¹ Ideal

معماری پیشنهادی از یک فرکانس نمونه برداری^۱ واحد (Fs) برای تولید سیگنال RF استفاده می کند که شامل یک DSM قابل تنظیم مجدد با حالت LP، حالت BP در Fs/4 و حالت HP است. برای سنتز سیگنال برای دست یابی به فرکانس های بالاتر، از یک ساختار TI با ۴ کاناله که هر کدام در فرکانس Fs/4 کار می کنند، استفاده شده است.

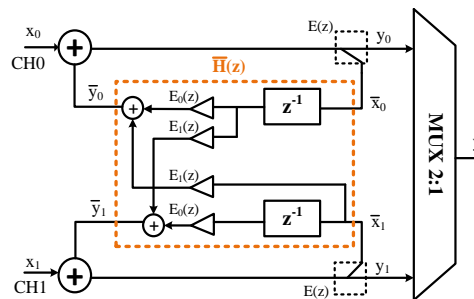
انتخاب مرتبه مناسب فیلترهای DSM و تعداد بیت های کوانتایزر^۲ داخلی برای هر کانال یک TI-DSM در به حداقل رساندن مساحت و مصرف توان سیستم بسیار مهم است. در این مرحله از فرآیند، فیلترهای DSM مرتبه یک تا ۳ با یک کوانتایزر چند بیتی به عنوان ساختار بازخورد خطا^۳ (EFB) پیاده سازی شده است. برای یک ساختار DSM ۱۶ بیتی، حداقل نسبت سیگنال به نویز^۴ (SNR) مورد نیاز ۹۸ dB است.

بر اساس نتایج شبیه سازی در حالت های LP، BP، و HP، SNR به دست آمده توسط مدولاتور مرتبه دوم (DSM مرتبه دوم)، نیاز برای SNR بالای ۹۸ dB را برآورده می کند. علاوه بر این، DSM مرتبه دوم از جمع کننده های دو ورودی استفاده می کند، در حالی که مدولاتورهای مرتبه سوم (DSM مرتبه سوم) یا بالاتر به جمع کننده های سه ورودی و بالاتر نیاز دارد. تعداد ورودی های جمع کننده به طور مستقیم بر اشغال مساحت تراشه، تأخیر انتشار، مصرف انرژی، مسیرهای بحرانی و پیچیدگی مدار تأثیر می گذارد. از این رو، DSM مرتبه دوم با کوانتایزر داخلی ۴ بیتی بهترین انتخاب است. مشخصات نهایی معماری انتخاب شده در جدول ۱ ارائه شده است.

جدول ۱: مشخصات نهایی معماری پیشنهادی.

Table 1. Final specifications of the selected system.

پارامتر	مقدار تعیین شده	پارامتر	مقدار تعیین شده
فرکانس نمونه برداری (GHz)	۴	مرتبه فیلتر پایین گذر	۲
پهنای باند (MHz)	۲۰	مرتبه فیلتر میان گذر	۴
نرخ بیش نمونه برداری (OSR)	۱۰۰	مرتبه فیلتر بالاگذر	۲
تعداد بیت های ورودی	۱۶	تعداد بیت های داخلی کوانتایزر	۴
تعداد کانال های ساختار TI	۴	SFDR (dB) ^۵	۱۰۰ <
SNDR (dB) ^۶	۱۰۰ <		



شکل ۲: مدولاتور دلتا-سیگما با ساختار بهم ریخته زمانی دو کاناله [۵].

Figure 2. A two-channel EFB-TI-DSM.

¹ Sampling Frequency

² Quantizer

³ Error Feedback

⁴ Signal-to-Noise Ratio

⁵ Spurious Free Dynamic Range

⁶ Signal-to-Noise and Distortion Ratio

۱-۲- تبدیل ساختار تک حلقه‌ای به ساختار TI ۴ کاناله

شکل ۲ ساختار یک TI-EFB^۱ ۲ کاناله را نشان می‌دهد. در این ساختار، رابطه زیر برقرار است [۵، ۲۳]:

$$\begin{bmatrix} \overline{y_0} \\ \overline{y_1} \end{bmatrix} = \overline{H(z)} \times \begin{bmatrix} \overline{X_0} \\ \overline{X_1} \end{bmatrix} = \begin{bmatrix} E_0(z) & E_1(z) \\ z^{-1}E_0(z) & E_1(z) \end{bmatrix} \times \begin{bmatrix} \overline{X_0} \\ \overline{X_1} \end{bmatrix} \quad (1)$$

علاوه براین، رابطه ۲ را می‌توان بین ضرایب E_k و $H(z)=1-NTF(z)$ ایجاد کرد، که تابع تبدیل سیگنال فیلتر DSM تک حلقه است:

$$H(z) = \sum_{k=0}^{M-1} z^{-k} E_k(z^M) \quad (2)$$

با یافتن ضرایب از رابطه فوق، رابطه ۳ به دست می‌آید.

$$H(z) = \sum_{k=0}^{M-1} z^{-k} E_k(z^M) = E_0(z^4) + z^{-1}E_1(z^4) + z^{-2}E_2(z^4) + z^{-3}E_3(z^4) \quad (3)$$

این تبدیل را می‌توان برای ساختار ۴ کاناله TI-EFB پیشنهادی گسترش داد. برای یافتن ضرایب بین کانال‌های بهم‌ریخته زمانی، با فرض $M=4$ ، رابطه ۲ به صورتی که در ادامه می‌آید، تبدیل می‌شود. علاوه بر این، تابع تبدیل نويز مدولاتور دلتا-سیگما پایین‌گذر^۲ $H(z)$ و $NTF=(1-z^{-1})^2$ ، (LP-DSM) به صورت زیر محاسبه می‌شود:

$$H(z) = 1 - NTF(z) = 1 - (1 - z^{-1})^2 = 2z^{-1} - z^{-2} \quad (4)$$

با برابری روابط ۳ و ۴ ضرایب E_k به صورت زیر به دست می‌آیند:

$$E_0(z) = 0 \quad E_1(z) = 2 \quad E_2(z) = -1 \quad E_3(z) = 0 \quad (5)$$

در نتیجه ماتریس ضرایب DSM مرتبه دوم ۴ کاناله به شکل رابطه ۶ می‌باشد.

$$\overline{H(z)} = \begin{bmatrix} E_0(z) & E_1(z) & E_2(z) & E_3(z) \\ z^{-1}E_0(z) & E_0(z) & E_1(z) & E_2(z) \\ z^{-1}E_0(z) & z^{-1}E_1(z) & E_0(z) & E_1(z) \\ z^{-1}E_0(z) & z^{-1}E_1(z) & z^{-1}E_2(z) & E_0(z) \end{bmatrix} = \begin{bmatrix} 0 & 2 & -1 & 0 \\ 0 & 0 & 2 & -1 \\ -z^{-1} & 0 & 0 & 2 \\ 2z^{-1} & -z^{-1} & 0 & 0 \end{bmatrix} \quad (6)$$

با تکرار روش فوق برای حالت‌های BP و HP، ضرایب مدولاتور ۴ کاناله TI به ترتیب در روابط ۷ و ۸ آمده‌اند.

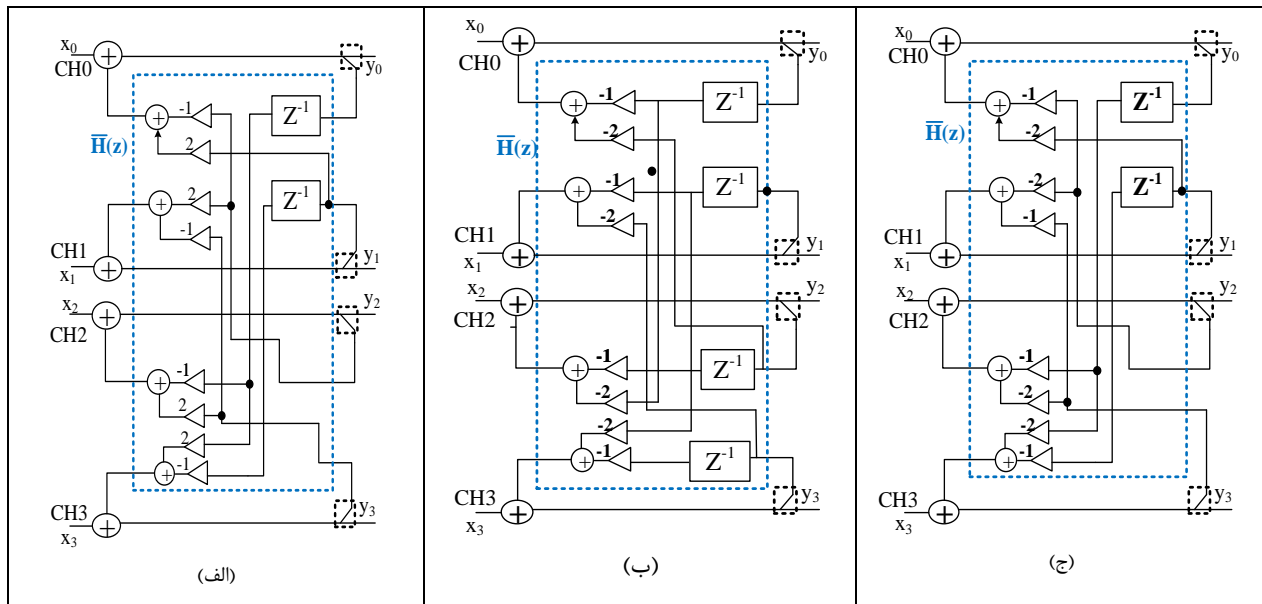
¹ Time-Interleaved Error Feedback

² Low-Pass Delta-Sigma Modulator

$$\bar{H}(z) = \begin{bmatrix} -z^{-1} & 0 & -2 & 0 \\ 0 & -z^{-1} & 0 & -2 \\ -2z^{-1} & 0 & -z^{-1} & 0 \\ 0 & -2z^{-1} & 0 & -z^{-1} \end{bmatrix} \quad (۷)$$

$$\bar{H}(z) = \begin{bmatrix} 0 & -2 & -1 & 0 \\ 0 & 0 & -2 & -1 \\ -z^{-1} & 0 & 0 & -2 \\ -2z^{-1} & -z^{-1} & 0 & 0 \end{bmatrix} \quad (۸)$$

از آنجایی که ضرایب ساده برای هر سه حالت با مقادیر $\langle 1, -1, 2, -2 \rangle$ وجود دارد، عملیات ضرب را می توان با استفاده از یک بلوک شیفر انجام داد. در نتیجه، ساده سازی طراحی، مصرف انرژی کمتر، ناحیه اشغالی کوچک تر و سرعت بالاتر حاصل می شود. در نهایت، ساختار پیشنهادی برای مدولاتور ۴ کاناله EFB-TI با استفاده از سوئیچها در شکل ۳ نشان داده شده است.



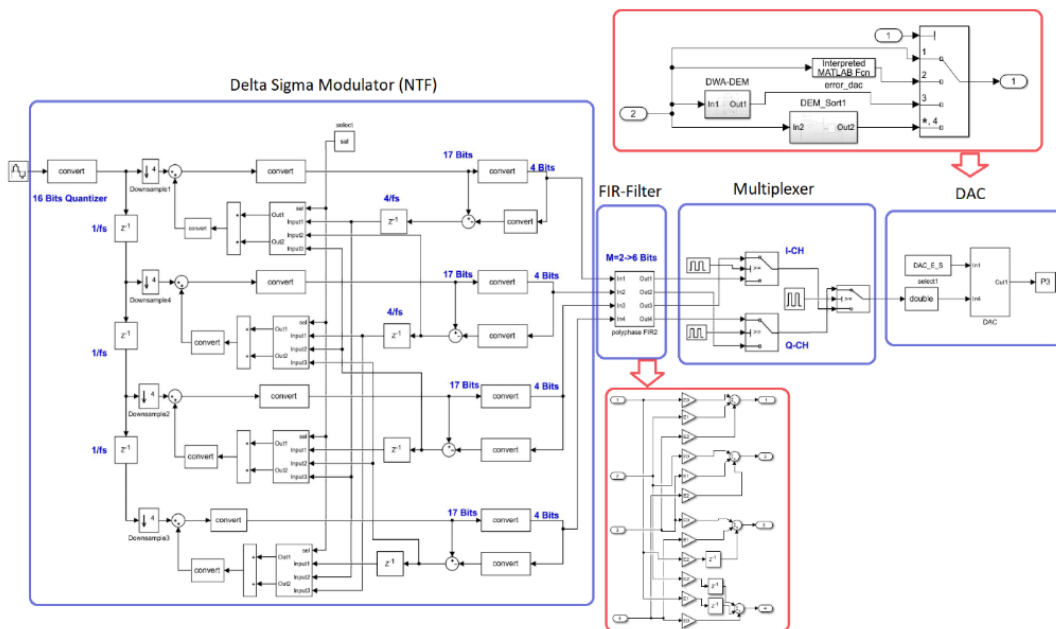
شکل ۳: ساختار پیشنهادی برای ۴ کاناله EFB-TI-DSM. (الف) حالت LP، (ب) حالت BP، و (ج) حالت HP.
 Figure 3. The proposed structure for the 4-Ch EFB-TI-DSM; (a) LP mode, (b) BP mode, and (c) HP mode.

۳- پیاده سازی مدولاتور دلتا-سیگما مرتبه دوم با ساختار بهم ریخته زمانی آرمانی در VHDL

در این بخش ساختار پیشنهادی TI-DSM مرتبه دوم ۴ کاناله به زبان VHDL در نرم افزار ISE پیاده سازی شده است. ساختار پیشنهادی بر روی تراشه Kintex-7 سری XC7K480T پیاده سازی شده و حالت های LP، BP در فرکانس $F_s/4$ و HP در شرایط آرمانی پیاده سازی شده است. شکل ۴ بلوک دیاگرام TI-DSM آرمانی ۴ کاناله را به همراه واحدهای جبران سازی خطاهای DCE و عدم تطابق سلول های DAC نشان می دهد.

به منظور اعمال سیگنال سینوسی ۱۶ بیتی با فرکانس ۴ گیگاهرتز به ورودی ساختار TI-DSM ۴ کاناله در ISE این سیگنال به صورت فایل متنی در MATLAB تولید و ذخیره می شود. سه سیگنال ورودی متناظر با حالت های LP، BP و HP مطابق با کد مربوطه در

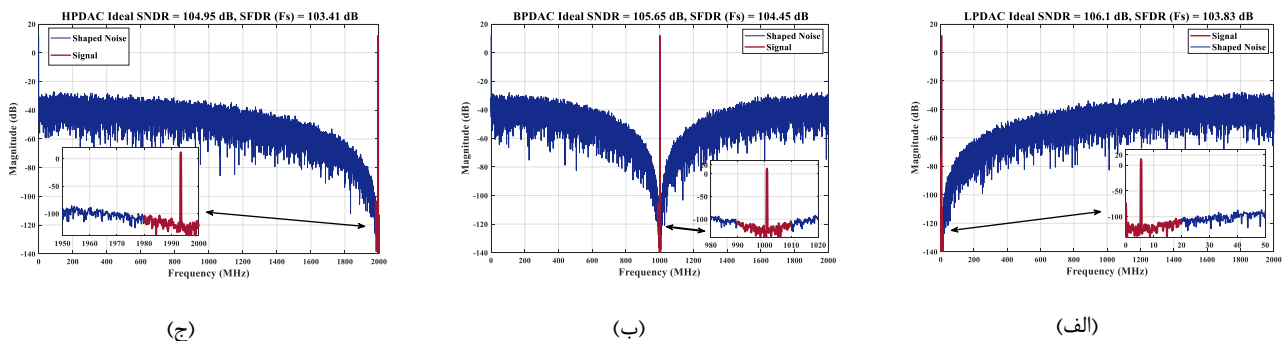
MATLAB حاصل می‌گردد که در کد VHDL به‌عنوان ورودی استفاده می‌شود. روش دیگر تولید سیگنال سینوسی در VHDL استفاده از IPCore مربوطه است.



شکل ۴: بلوک دیاگرام TI-DSM آرمانی ۴ کاناله همراه واحدهای جبران‌سازی خطاهای DCE و عدم تطابق سلول‌های DAC. Figure 4. Block diagram of ideal 4-channel TI-DSM with DCE error compensation units and DAC cell mismatch.

۳-۱- شبیه‌سازی مدولاتور دلتا-سیگما مرتبه دوم با ساختار بهم‌ریخته زمانی آرمانی

پس از سنتز موفقیت‌آمیز کد VHDL ساختار TI-DSM مرتبه دوم ۴ کاناله آرمانی، شبیه‌سازی در هر سه حالت LP، BP و HP انجام شده است. برای پیاده‌سازی این مدولاتور چند حالتی، یک ساختار واحد با اندکی قابلیت پیکربندی متناظر با فرکانس سیگنال ورودی پیاده‌سازی شده است، به طوری که در هر حالت به کمک یک شاخص تعیین‌کننده فرکانس کاری ساختار پیشنهادی به یکی از حالت‌های LP، BP و HP تبدیل می‌شود. سیگنال خروجی TI-DSM ۴ کاناله، ۴ بیتی با فرکانس ۴ گیگاهرتز است. فرکانس کاری هر یک از مسیره‌های چهارگانه درونی TI-DSM، $F_s/4$ برابر با یک گیگاهرتز است. بنابراین این مدولاتور به دو سیگنال کلاک نیازمند است. برای ساخت کلاک با فرکانس یک گیگاهرتز دقیق، از فرکانس ۴ گیگاهرتز استفاده می‌شود.



شکل ۵: طیف سیگنال خروجی در حالت‌های (الف) LP، (ب) BP، و (ج) HP در مقیاس خطی. Figure 5. Output signal spectrum for (a) LP, (b) BP, and (c) HP modes in linear scale.

به منظور شبیه‌سازی ساختار TI-DSM کد VHDL تست نوشته شده است. در این کد مقادیر ورودی از هر یک از فایل‌های متنی سیگنال‌های ورودی مربوط به LP، BP و HP خوانده شده و به عنوان ورودی به TI-DSM اعمال می‌شود. خروجی TI-DSM نیز به منظور استفاده و راستی آزمایی نتایج در MATLAB در یک فایل متنی ذخیره می‌شود. طیف فرکانسی و مقادیر SNDR و SFDR سیگنال خروجی ساختار TI-DSM برای هر یک از حالت‌های LP، BP و HP در شکل ۵ نشان داده شده است. مقدار SNDR در حالت LP، BP و HP به ترتیب برابر با ۱۰۶/۱۰، ۱۰۵/۶۵ و ۱۰۴/۹۵ dB و مقدار SFDR در حالت LP، BP و HP به ترتیب برابر با ۱۰۳/۸۳، ۱۰۴/۴۵ و ۱۰۳/۴۱ dB است که همگی بالاتر از حداقل مقدار مورد نیاز (۹۸ dB) برای تعداد بیت‌های موثر^۱ (ENOB) ۱۶ بیت است.

۴- بررسی اثرات غیرآرمانی مدولاتور دلتا-سیگما مرتبه دوم با ساختار بهم‌ریخته زمانی و جبران‌سازی آنها

یکی از مهمترین خطاها در پیاده‌سازی مدارهای TI-DSM های چند کاناله، خطای DCE است. دست‌یابی به چرخه دقیق کلاک کاری ۵۰ درصد در سرعت‌های بالا بسیار چالش برانگیز است. تغییر یک چرخه وظیفه از ۵۰٪، باعث عدم تطابق مسیر درونی فاز و متعامد^۲ (IQ) و خطای فاز می‌شود [۳۴]. این خطا باعث افزایش نویز در پهنای باند و در نتیجه کاهش SNR می‌شود. در مدولاتور دلتا-سیگما میان‌گذر^۳ (BP-DSM) علاوه بر افزایش نویز در پهنای باند، تصویر سیگنال نیز در پهنای باند قرار می‌گیرد که باعث کاهش بیش‌تر SNR می‌شود. در این بخش اثر خطا DCE و روش جبران‌سازی آن بر روی ساختار پیشنهادی بررسی شده تا از عملکرد صحیح ساختار اطمینان حاصل شود. خطای با اهمیت دیگر خطای عدم تطابق سلول‌های DAC است که در بخش پنجم مقاله بطور کامل بحث خواهد شد.

۴-۱- شبیه‌سازی DCE در VHDL

به منظور بررسی اثرات خطای DCE بر عملکرد ساختار TI-DSM فقط کد VHDL تست نوشته شده است و پس از سنتز موفقیت آمیز، شبیه‌سازی در هر سه حالت LP، BP و HP انجام شده است. مقدار خطای DCE_Error یک و ۲ درصد در خروجی بلوک های DSM و مالتی پلکسر اعمال می‌شود. در کد تست یک سیگنال کلاک با نام "clk_DCE" اضافه شده تا نمونه‌برداری خروجی ۱۰۰ برابر بیش‌تر از حالت قبل باشد، در این صورت می‌توان خطای اعمالی به کلاک را استخراج و مشاهده نمود. همانند حالت آرمانی در این کد نیز مقادیر ورودی از هر یک از فایل‌های متنی سیگنال‌های ورودی مربوط به LP، BP و HP خوانده و به عنوان ورودی به TI-DSM اعمال می‌شود. خروجی TI-DSM نیز به منظور استفاده و راستی آزمایی نتایج در MATLAB در یک فایل متنی ذخیره می‌شود.

شکل ۶ نتایج شبیه‌سازی و مقادیر SNDR و SFDR پس از اعمال DCE با خطای یک درصد در حالت‌های LP، BP و HP نشان می‌دهد. مقدار SNDR در حالت LP، BP و HP به ترتیب برابر با ۶۲/۲۵، ۳۶/۰۷ و ۹۶/۷۸ dB و مقدار SFDR در حالت LP، BP و HP به ترتیب برابر با ۶۱/۹۴، ۲۵/۱۲ و ۹۶/۳۱ dB است. نتایج نشان می‌دهند که مقادیر SNDR و SFDR در اثر خطای DCE افت شدیدی را تجربه کرده‌اند. دلیل این افت شدید در حالت BP حضور تصویر سیگنال در باند فرکانسی مدولاتور است. شکل ۷ نتایج شبیه‌سازی و مقادیر SNDR و SFDR پس از اعمال DCE با خطای ۲ درصد در حالت‌های LP، BP و HP نشان می‌دهد. مقدار SNDR در حالت LP، BP و HP به ترتیب برابر با ۵۶/۲۳، ۳۰/۰۵ و ۹۱/۳۰ dB و مقدار SFDR در حالت LP، BP و HP به ترتیب

¹ Effective Number of Bits

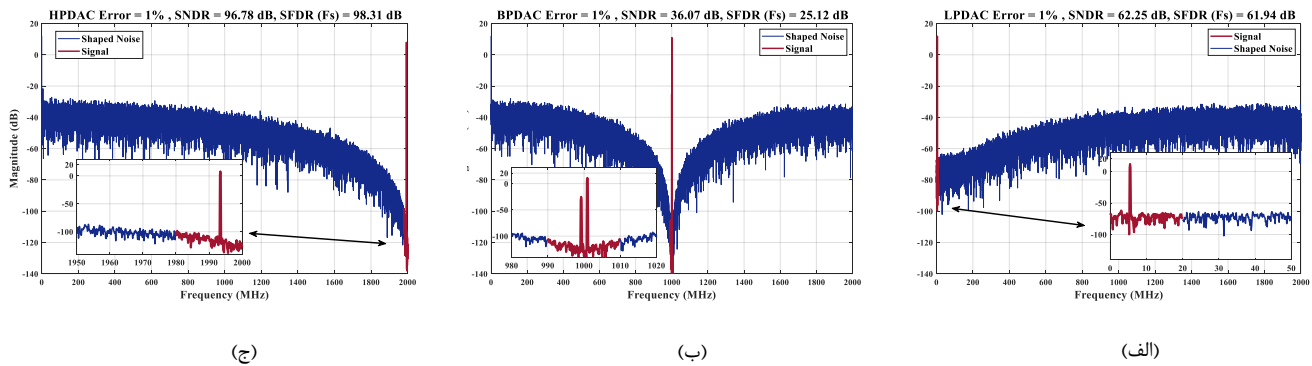
² In-Phase and Quadrature

³ Band-Pass Delta-Sigma Modulator

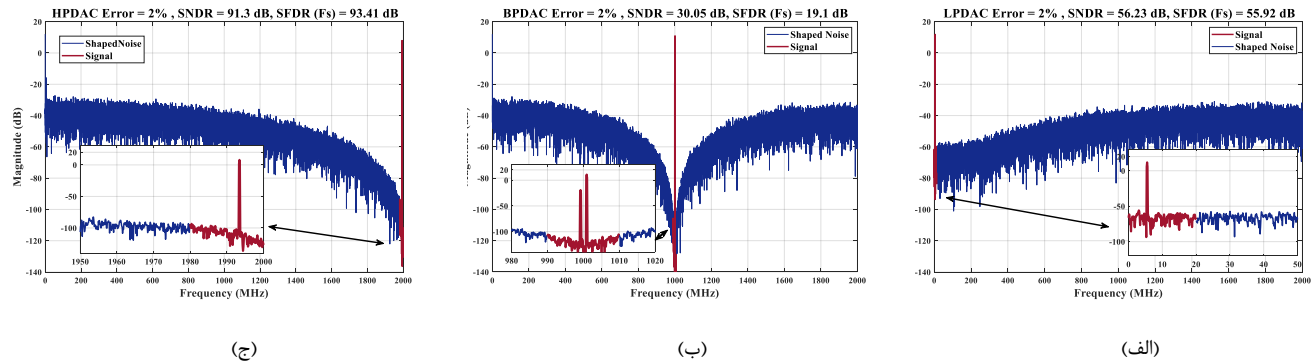
برابر با ۵۵/۹۲، ۱۹/۱۰ و ۹۳/۴۱ dB است. دلیل افت کمتر در حالت HP فاصله فرکانسی قابل توجه تصویر سیگنال از سیگنال اصلی و باند فرکانسی مدولاتور است.

۲-۴- جبران سازی DCE

همانطور که در شکل ۸ نشان داده شده است، یک راه حل رایج جبران سازی خطای DCE در TI-DSM ها استفاده از فیلتر پاسخ ضربه محدود^۱ (TI-FIR) قبل از مالتی پلکسر در مسیر سیگنال هر کانال است. فیلتر FIR برای جبران DCE عمل می کند و در نتیجه تعداد بیت های خروجی از مدولاتور مطابق با مرتبه فیلتر افزایش می یابد. فرض کنید تعداد بیت های خروجی کوانتایزر با K و تعداد بیت های اضافه شده توسط فیلتر m نشان داده شود. همان مرتبه فیلتر FIR نیز هست. در نتیجه، خروجی نهایی مدولاتور پس از جبران سازی توسط فیلتر FIR شامل بیت های K+m خواهد بود.

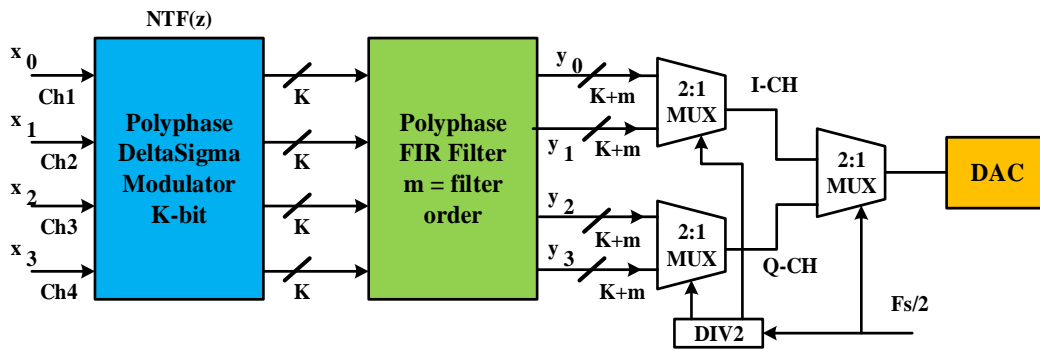


شکل ۶: طیف فرکانس مدولاتور مرتبه دوم با یک درصد خطای DCE.
Figure 6. Frequency spectrum of the second-order modulator with a DCE of 1%.



شکل ۷: طیف فرکانس مدولاتور مرتبه دوم با ۲ درصد خطای DCE.
Figure 7. Frequency spectrum of the second-order modulator with a DCE of 2%.

¹ Time-Interleaved Finite Impulse Response



شکل ۸: فیلتر TI-FIR قبل از مالتی پلکسر در مسیر سیگنال هر کانال.

Figure 8. TI-FIR filter before the multiplexer in the signal path of each channel.

پیشنهاد می‌شود برای جبران DCE، دو فیلتر TI-FIR مرتبه اول ($m=1$) و مرتبه دوم ($m=2$) بکار برده شود. از آنجایی که $K=4$ است، بنابراین تعداد بیت‌های خروجی نهایی TI-DSM پس از جبران‌سازی در حالت استفاده از فیلتر TI-FIR مرتبه اول ۵ بیت و در حالت استفاده از فیلتر TI-FIR مرتبه دوم ۶ بیت خواهد بود. برای حالت مدولاتور دلتا-سیگما بالاگذر^۱ (LP-DSM) نوع فیلتر LP-FIR^۲ است و توابع تبدیل فیلترهای LP-FIR مرتبه اول و مرتبه دوم به ترتیب $(1+z^{-1})$ و $(1+z^{-1})^2$ بوده و ضرایب آنها نیز به ترتیب در رابطه ۹ و ۱۰ آمده است.

$$\bar{H}(z) = \begin{bmatrix} 1 & 1 & 0 & 0 \\ 0 & 1 & 1 & 0 \\ 0 & 0 & 1 & 1 \\ -z^{-1} & 0 & 0 & 1 \end{bmatrix} \quad (9)$$

$$\bar{H}(z) = \begin{bmatrix} 1 & 2 & 1 & 0 \\ 0 & 1 & 2 & 1 \\ z^{-1} & 0 & 1 & 2 \\ 2z^{-1} & z^{-1} & 0 & 1 \end{bmatrix} \quad (10)$$

برای حالت مدولاتور دلتا-سیگما بالاگذر^۳ (HP-DSM) نوع فیلتر HP-FIR^۴ است. توابع تبدیل فیلترها به ترتیب $(1-z^{-1})$ و $(1-z^{-1})^2$ بوده و ضرایب آنها به ترتیب در رابطه ۱۱ و ۱۲ آمده است.

$$\bar{H}(z) = \begin{bmatrix} 1 & -1 & 0 & 0 \\ 0 & 1 & -1 & 0 \\ 0 & 0 & 1 & -1 \\ -z^{-1} & 0 & 0 & 1 \end{bmatrix} \quad (11)$$

¹ Low-Pass Delta-Sigma Modulator

² Low-Pass Finite Impulse Response

³ High-Pass Delta-Sigma Modulator

⁴ High-Pass Finite Impulse Response

$$\overline{H}(z) = \begin{bmatrix} 1 & -2 & 1 & 0 \\ 0 & 1 & -2 & 1 \\ z^{-1} & 0 & 1 & -2 \\ -2z^{-1} & z^{-1} & 0 & 1 \end{bmatrix} \quad (12)$$

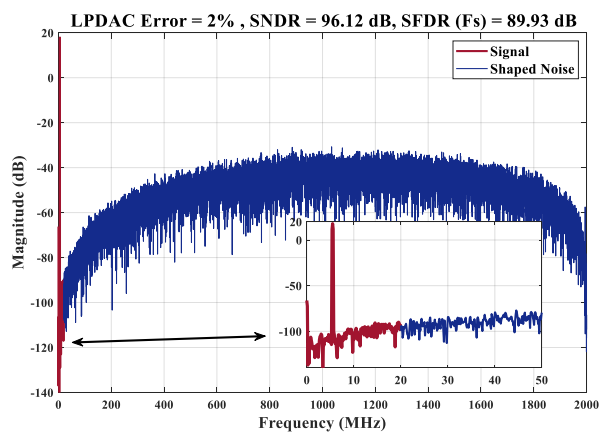
برای حالت BP-DSM نوع فیلتر BP-FIR است. یک فیلتر BP-FIR مرتبه دوم با عبارت $(1-z^{-1})$ تعریف می‌شود و ضرایب آن به صورت زیر در رابطه ۱۳ آمده است:

$$\overline{H}(z) = \begin{bmatrix} 1 & 0 & -1 & 0 \\ 0 & 1 & 0 & -1 \\ -z^{-1} & 0 & 1 & 0 \\ 0 & -z^{-1} & 0 & 1 \end{bmatrix} \quad (13)$$

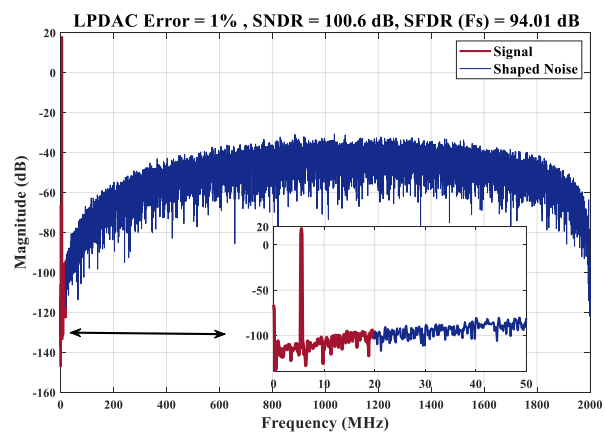
این ضرایب برای پیاده‌سازی جبران‌ساز DCE برای مقادیر خطای یک درصد و ۲ درصد با استفاده از فیلترهای مرتبه اول و مرتبه دوم برای حالت های LP, BP, HP استفاده شده است.

۴-۲-۱- جبران‌سازی DCE در حالت‌های LP و HP توسط فیلتر TI-FIR مرتبه اول

روش پیشنهادی جبران‌سازی خطای DCE در زبان VHDL پیاده‌سازی شده است. ساختار کلی مدولاتور و مشخصات فرکانس کلاک و سیگنال‌های ورودی و خروجی هیچ تفاوتی با ساختار آرمانی آن ندارد. مطابق شکل ۹، در حالت LP پس از جبران‌سازی به وسیله فیلتر LP-FIR مرتبه اول، مقدار SNDR به ازای خطای یک و ۲ درصد به ترتیب برابر با $100/60$ و $96/12$ dB و مقدار SFDR به ترتیب برابر با $94/01$ و $89/93$ dB است. سپس برای حالت HP یک فیلتر مرتبه اول HP-FIR استفاده شده است. همان‌طور که در شکل ۱۰ مشاهده می‌شود، پس از جبران‌سازی، مقدار SNDR به ازای خطای یک و ۲ درصد به ترتیب برابر با $105/35$ و $105/34$ dB و مقدار SFDR به ترتیب برابر با $100/19$ و $99/96$ dB است.



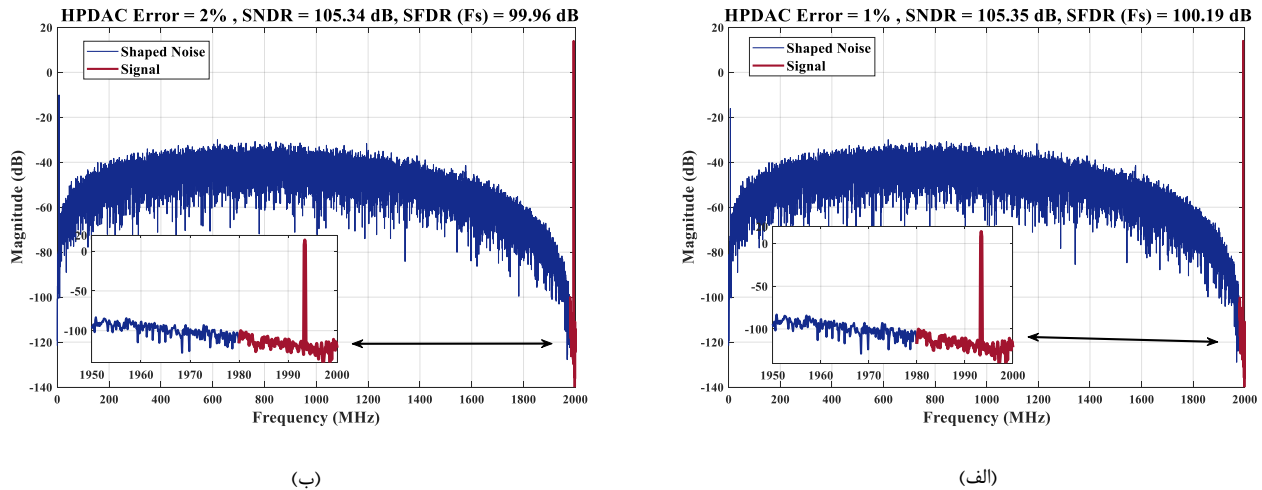
(ب)



(الف)

شکل ۹: طیف خروجی جبران‌شده با فیلتر FIR مرتبه اول در حالت LP (الف) یک درصد خطا و (ب) ۲ درصد خطای DCE.

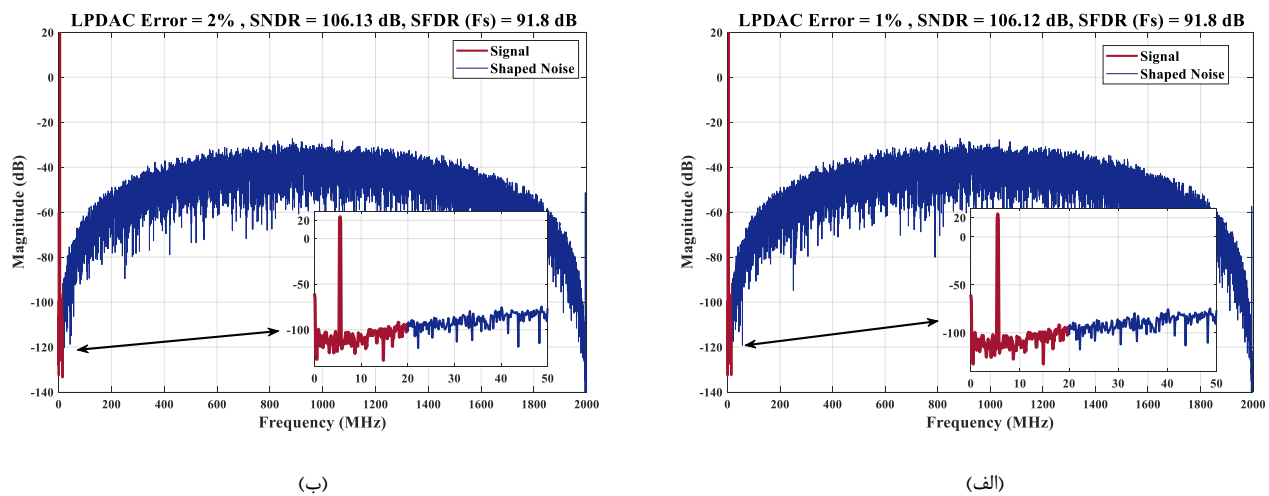
Figure 9. The output spectrum compensated by first-order FIR filter in LP mode with (a) 1% and (b) 2% DCE.



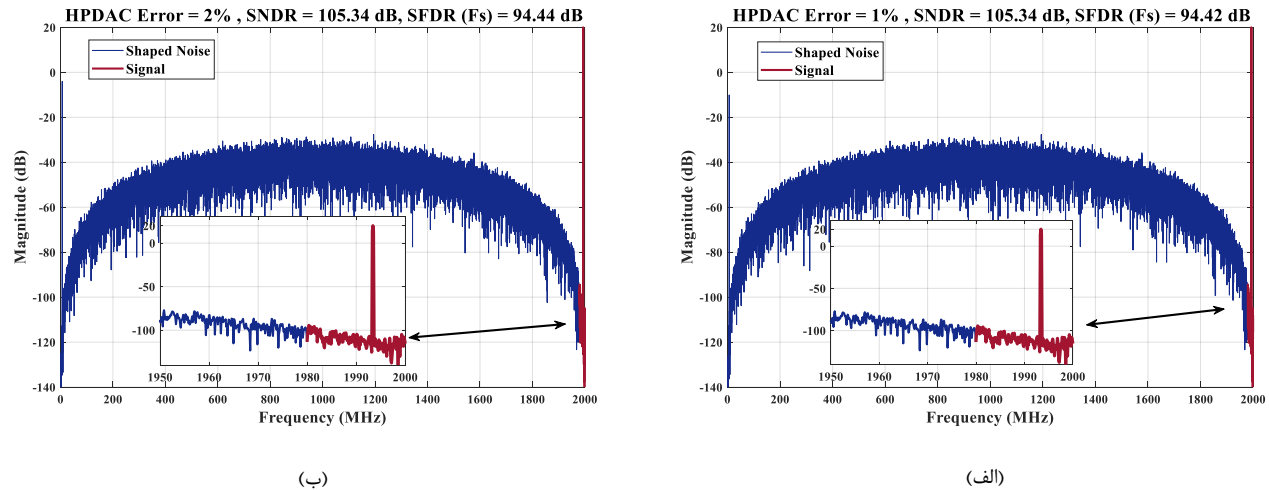
شکل ۱۰: طیف خروجی جبران‌شده با فیلتر FIR مرتبه اول در حالت HP (الف) یک درصد خطا و (ب) ۲ درصد خطای DCE.
 Figure 10. The output spectrum compensated by first-order FIR filter in HP mode with (a) 1% and (b) 2% DCE.

۴-۲-۲- جبران‌سازی DCE در حالت های LP, BP و HP توسط فیلتر TI-FIR مرتبه دوم

بار دیگر به منظور جبران‌سازی DCE فیلتر مرتبه دوم TI-FIR در حالت های LP, BP و HP، متناسب با ضرایب مورد نیاز پیاده‌سازی شده است. همان‌طور که در شکل ۱۱ مشاهده می‌شود، در حالت LP پس از جبران‌سازی به وسیله فیلتر LP-FIR، مقدار SNDR به ازای خطای یک و ۲ درصد به ترتیب برابر با ۱۰۶/۱۲ و ۱۰۶/۱۳ dB و مقدار SFDR برای هر دو مقدار خطا یکسان و برابر با ۹۱/۸۰ dB است. سپس یک فیلتر مرتبه دوم HP-FIR با عبارت $(1-z^{-1})^2$ در نظر گرفته شده است. همان‌طور که در شکل ۱۲ مشاهده می‌شود، در حالت HP پس از جبران‌سازی به وسیله فیلتر HP-FIR، مقدار SNDR به ازای خطای ۱ و ۲ درصد یکسان و برابر با ۱۰۵/۳۴ dB و مقدار SFDR به ترتیب برابر با ۹۴/۴۲ و ۹۴/۴۴ dB است.



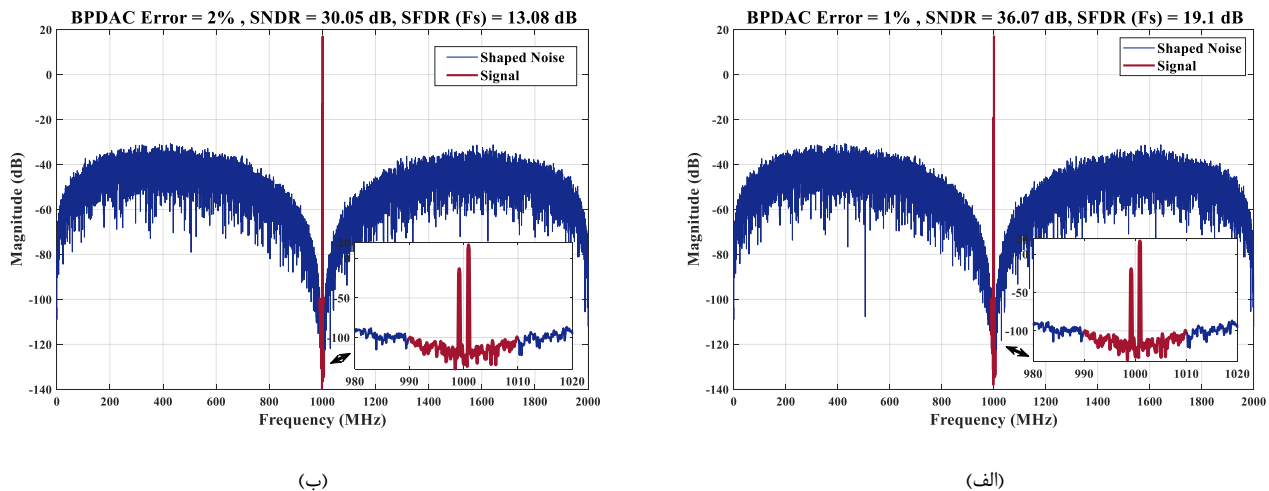
شکل ۱۱: طیف خروجی جبران‌شده با فیلتر FIR مرتبه دوم در حالت LP (الف) یک درصد خطا و (ب) ۲ درصد خطای DCE.
 Figure 11. The output spectrum compensated by second-order FIR filter in LP mode with (a) 1% and (b) 2% DCE.



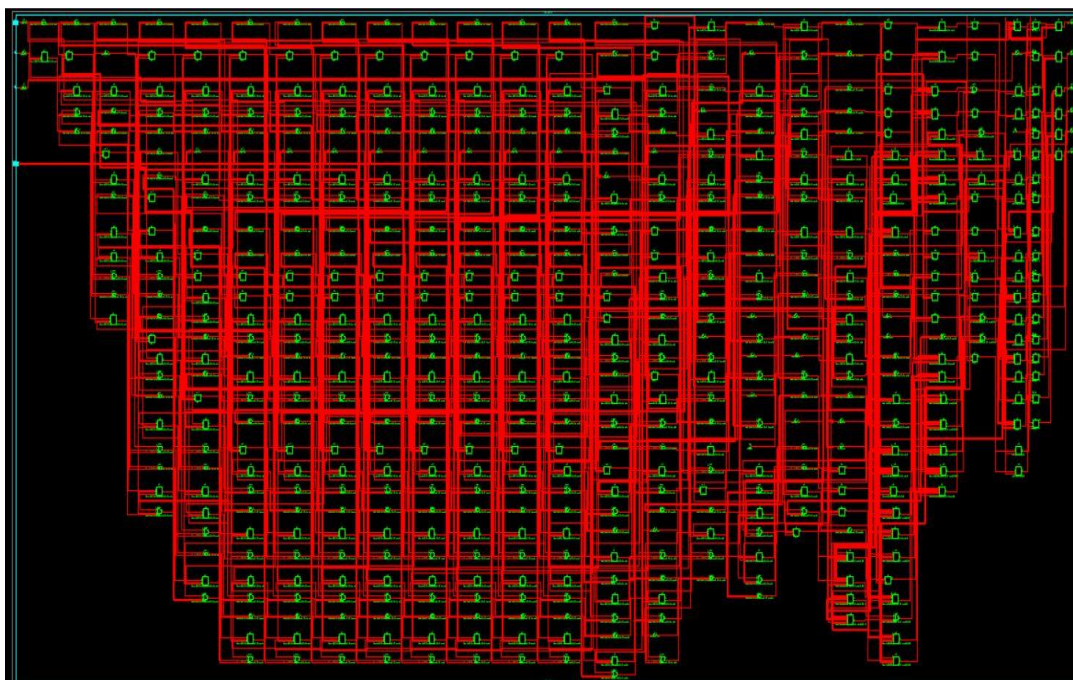
شکل ۱۲: طیف خروجی جبران شده با فیلتر FIR مرتبه دوم در حالت HP (الف) یک درصد خطا و (ب) ۲ درصد خطای DCE.
 Figure 12. The output spectrum compensated by second-order FIR filter in HP mode with (a) 1% and (b) 2% DCE.

در گام نهایی یک فیلتر مرتبه دوم BP-FIR در نظر گرفته شده است. مطابق شکل ۱۳، در حالت BP پس از جبران سازی به وسیله فیلتر BP-FIR، مقدار SNDR به ازای خطای یک و دو درصد به ترتیب برابر با ۳۶/۰۷ و ۳۰/۰۵ dB و مقدار SFDR به ترتیب برابر با ۱۹/۱۰ و ۱۳/۰۸ dB است.

مقادیر SNDR مدولاتورهای LP و HP برای برآورده کردن الزامات ENOB برابر با ۱۶ بیت کافی است. بنابراین، می توان از این روش در ساختار نهایی مدولاتور استفاده کرد، در حالی که در حالت BP، مقدار SNDR در مقایسه با نیاز ۱۶ بیتی ENOB بسیار پایین است. این وضعیت نامناسب به دلیل وجود سیگنال تصویر در داخل فرکانس باند عبور ایجاد می شود.



شکل ۱۳: طیف خروجی جبران شده با فیلتر FIR مرتبه دوم در حالت BP (الف) یک درصد خطا و (ب) ۲ درصد خطای DCE.
 Figure 13. The output spectrum compensated by second-order FIR filter in BP mode with (a) 1% and (b) 2% DCE.



شکل ۱۴: گراف برای ساختار TI-DSM ۴ کاناله پس از جبران‌سازی به روش DCE در حالت‌های LP، BP و HP توسط فیلتر TI-FIR مرتبه دوم.
Figure 14. RTL graph for the DCE compensation of 4-Ch TI-DSM in LP, BP, and HP modes using the second-order TI-FIR filter

شکل ۱۴ گراف^۱ RTL بدست آمده از ISE را پس از سنتز و اجرای کد VHDL برای ساختار ۴ کاناله TI-DSM پس از جبران‌سازی به روش DCE در حالت‌های LP، BP و HP توسط فیلتر TI-FIR مرتبه دوم نشان می‌دهد. همانطور که در این گراف RTL نشان داده شده است، تعداد منابع سخت افزاری افزایش یافته و مسیرهای ارتباطی داخلی نیز پیچیده تر از حالت آرمانی شده‌اند.

۴-۳-روش پیشنهادی حذف اثر تصویر سیگنال در حالت BP

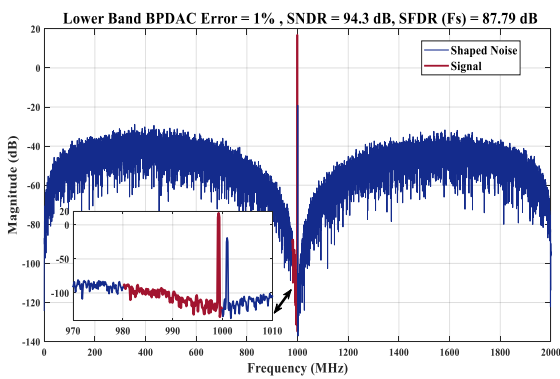
ساختار پیشنهادی برای سه فرکانس مرکزی خاص طراحی و پیاده‌سازی شده است. برای یک فرکانس مرکزی خاص، باید ضرایب TI-DSM تنظیم شود و یک فیلتر پس از TI-DSM با خروجی ۴ بیتی بر اساس فرکانس مرکزی انتخاب شود. روش پیشنهادی بدون اضافه کردن سخت افزار اضافی و پیچیدگی مداری، فقط با یکطرفه کردن باند گذر سیگنال TI-DSM پهنای باند عبور را به دو طرف فرکانس مرکزی ($F_s/4$) منتقل کرده و این بخش را به باند بالا و پایین تقسیم می‌کند. محدوده فرکانسی باند بالایی از ۱۰۰۰ تا ۱۰۲۰ مگاهرتز است، در حالی که محدوده فرکانسی باند پایینی بین ۹۸۰ تا ۱۰۰۰ مگاهرتز است. در حالت BP، دو فیلتر برای زیر باندهای بالا و پایین به طور جداگانه در نظر گرفته شده است. هنگامی که سیگنال ورودی در زیر باند پایینی قرار دارد، تصویر سیگنال در زیر باند بالایی است. با انتخاب باند حذف فیلتر برای زیر باند بالایی می‌توان اثر تصویر سیگنال را از بین برد. به طور مشابه، اگر سیگنال ورودی در زیر باند بالایی قرار داشته باشد، تصویر سیگنال در زیر باند پایینی قرار دارد. با انتخاب باند حذف فیلتر برای زیر باند پایینی، می‌توان اثر تصویر سیگنال را کاهش داد. این رویکرد فیلتر سیگنال مناسب و حذف تصاویر سیگنال نامطلوب در باندهای فرعی مربوطه را تضمین می‌کند. به عبارت دیگر، در این روش برای حذف تصویر سیگنال، تنها به دو فیلتر با پهنای باند باریک‌تر در خروجی نیاز است.

¹ Register-Transfer Level

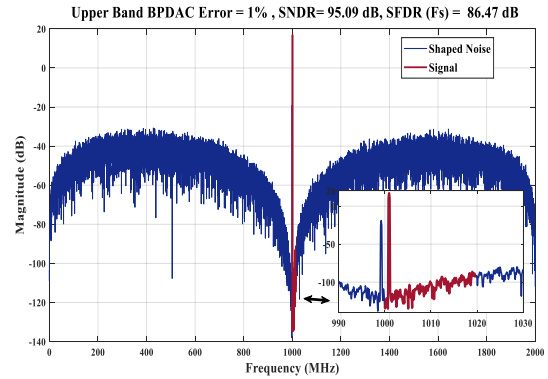
۴-۳-۱- شبیه سازی حذف اثر تصویر سیگنال در حالت BP

به منظور تایید کارایی روش پیشنهادی مقدار خطای یک درصد DCE یک فیلتر TI-FIR مرتبه اول برای حالت BP پیاده سازی شده است. شکل ۱۵ طیف خروجی TI-DSM برای حالت BP با پهنای باند ۲۰ مگاهرتز از فرکانس ۱۰۰۰ تا ۱۰۲۰ مگاهرتز را نشان می دهد که مقادیر SNDR و SFDR به ترتیب ۹۵/۰۹ و ۸۶/۴۰ dB هستند. به طور متناظر در شکل ۱۶ طیف خروجی ساختار ۴ کاناله TI-DSM برای حالت BP و پهنای باند ۲۰ مگاهرتز از ۹۸۰ تا ۱۰۰۰ مگاهرتز نشان داده شده و مقادیر SNDR و SFDR به ترتیب برابر با ۹۴/۳۰ و ۸۷/۷۹ dB است.

نتایج شبیه سازی نشان می دهند که روش استفاده از فیلتر TI-FIR در جبران سازی DCE در حالت های LP و HP موثر است اما در حالت BP موفقیت چندانی در جبران DCE ندارد. در حالی که روش جبران سازی پیشنهادی در جبران DCE حالت BP بسیار موثر بوده و نتایج را به طور چشمگیری بهبود می دهد تا حدی که به مقدار آرمانی نزدیک می شود. از آنجایی که در حالت BP مقدار SNDR پس از جبران سازی به روش پیشنهادی حدود ۹۵ dB بدست آمد، بنابراین تعداد بیت های موثر در حدود (ENOB) ۱۵/۵ بیت است. در جدول ۲ نتایج حاصل از شبیه سازی ها بطور خلاصه مقایسه شده است.



شکل ۱۶: طیف خروجی قسمت پایینی TI-DSM در حالت BP.
Figure 16. The lower part of the TI-DSM in BP mode.



شکل ۱۵: طیف خروجی قسمت بالایی TI-DSM در حالت BP.
Figure 15. The upper part of the TI-DSM in BP mode.

جدول ۲: مقادیر SNDR در واحد dB برای یک و ۲ درصد خطای DCE قبل و بعد از جبران سازی.

Table 2. SNDR values in dB for DCEs at 1% and 2% before and after compensation.

درصد خطای DCE		روش های جبران سازی	TIDSM آرمانی	حالت DSM
۲٪	۱٪			
۵۶/۲۳	۶۲/۲۵	بدون جبران سازی		
۹۶/۱۲	۱۰۰/۶۰	جبران سازی با فیلتر FIR مرتبه اول	۱۰۶/۱۰	پایین گذر
۱۰۶/۱۳	۱۰۶/۱۲	جبران سازی با فیلتر FIR مرتبه دوم		
۳۰/۰۵	۳۶/۰۷	بدون جبران سازی		
۳۰/۰۵	۳۶/۰۷	جبران سازی با فیلتر FIR مرتبه اول	۱۰۵/۶۵	میان گذر
۳۰/۰۵	۳۶/۰۷	جبران سازی با فیلتر FIR مرتبه دوم		
---	۹۵/۰۹	قسمت بالایی		
---	۹۴/۳۰	قسمت پایینی		
۹۱/۳۰	۹۶/۷۸	بدون جبران سازی		
۱۰۵/۳۴	۱۰۵/۳۵	جبران سازی با فیلتر FIR مرتبه اول	۱۰۴/۹۵	بالا گذر
۱۰۵/۳۴	۱۰۴/۳۴	جبران سازی با فیلتر FIR مرتبه دوم		

۴-۴- مقایسه منابع استفاده شده در روش های مختلف جبران سازی DCE

یکی از مسایل مهم در پیاده سازی TI-DSM ناحیه اشغالی تراشه است. در TI-DSM به دلیل وجود کانال های بهم ریخته زمانی فرکانس کاری کلی مدار افزایش می یابد. برای یک ساختار ۴ کاناله TI-DSM که در فرکانس Fs کار می کند، فرکانس هر کانال Fs/۴ است. در حالی که منابع سخت افزاری و پیچیدگی مدار افزایش چشمگیری می یابد. جدول ۳ منابع استفاده شده در هر یک از مدارهای آرمانی، دارای خطای DCE با جبران سازی فیلتر TI-FIR مرتبه اول و مرتبه دوم را مقایسه می کند. مطابق جدول ۳ که یک گزارش واقعی ISE پس از سنتز موفقیت آمیز TI-DSM است، تعداد ثبات های مصرفی^۱ برای حالت های آرمانی و جبران سازی مرتبه اول و دوم رشد ملایمی داشته است. تعداد زوج LUT-FF مصرف شده کامل^۲ نیز برای حالت های آرمانی و جبران سازی فیلتر مرتبه اول و دوم رشد ناچیزی دارد. در حالی که تعداد LUT های مصرفی^۳ از تعداد ۳۳۳ در آرمانی به تعداد ۳۸۵ در جبران سازی مرتبه اول می رسد، در حالت جبران سازی فیلتر مرتبه دوم کاهش قابل توجهی را تجربه کرده و به تعداد ۱۹۶ رسیده است. تعداد IOB های متصل شده^۴ و تعداد BUFG/BUFGCTRL^۵ برای هر سه حالت تقریباً ثابت است. تعداد بیت های خروجی^۶ در TI-DSM نیز متناسب با مرتبه فیلتر جبران ساز افزایش می یابد بطوری که از تعداد ۴ بیت در حالت آرمانی به ترتیب به تعداد ۵ و ۶ بیت می رسد. هر یک واحد افزایش مرتبه فیلتر منجر به افزایش یک بیت در خروجی مدولاتور می گردد (K+m). مطابق با تعداد منابع گزارش شده در جدول ۳ می توان نتیجه گرفت که منابع سخت افزاری استفاده شده در طرح پیشنهادی نه تنها در برخی موارد افزایش چشمگیری نیافته است، بلکه در مورد تعداد LUT های مصرفی به طور مشخصی کاهش یافته است.

جدول ۳: مقایسه منابع سخت افزاری دیجیتال استفاده شده در پیاده سازی TIDSM مرتبه دوم آرمانی و پس از جبران سازی خطای DCE.

Table 3. Comparison of used second-order TI-DSM in ideal case and after compensation.

روش های جبران سازی		بدون جبران سازی (آرمانی)	منابع سخت افزاری دیجیتال
جبران سازی با فیلتر FIR مرتبه دوم	جبران سازی با فیلتر FIR مرتبه اول		
۹۲	۸۸	۷۶	تعداد ثبات های مصرفی
۱۹۶	۳۸۵	۳۳۳	تعداد LUT های مصرفی
۸۲	۷۹	۷۲	تعداد زوج LUT-FF مصرف شده کامل
۲۵	۲۵	۲۴	تعداد IOB های متصل شده
۲	۲	۲	تعداد BUFG/BUFGCTRL ها
۶	۵	۲	تعداد بیت های خروجی

۵- خطای عدم تطابق سلول های DAC

در بخش قبل یک فیلتر FIR مرتبه دوم (m=۲) انتخاب شد و در این بخش تمام شبیه سازی ها بر اساس فیلتر مرتبه دوم انجام می شود. بنابراین تعداد بیت های خروجی کوانتایزر پس از جبران ۶ بیت (K+m=۶) است.

¹ Number of Slice Registration

² Number of Fully Used LUT-FF Pairs

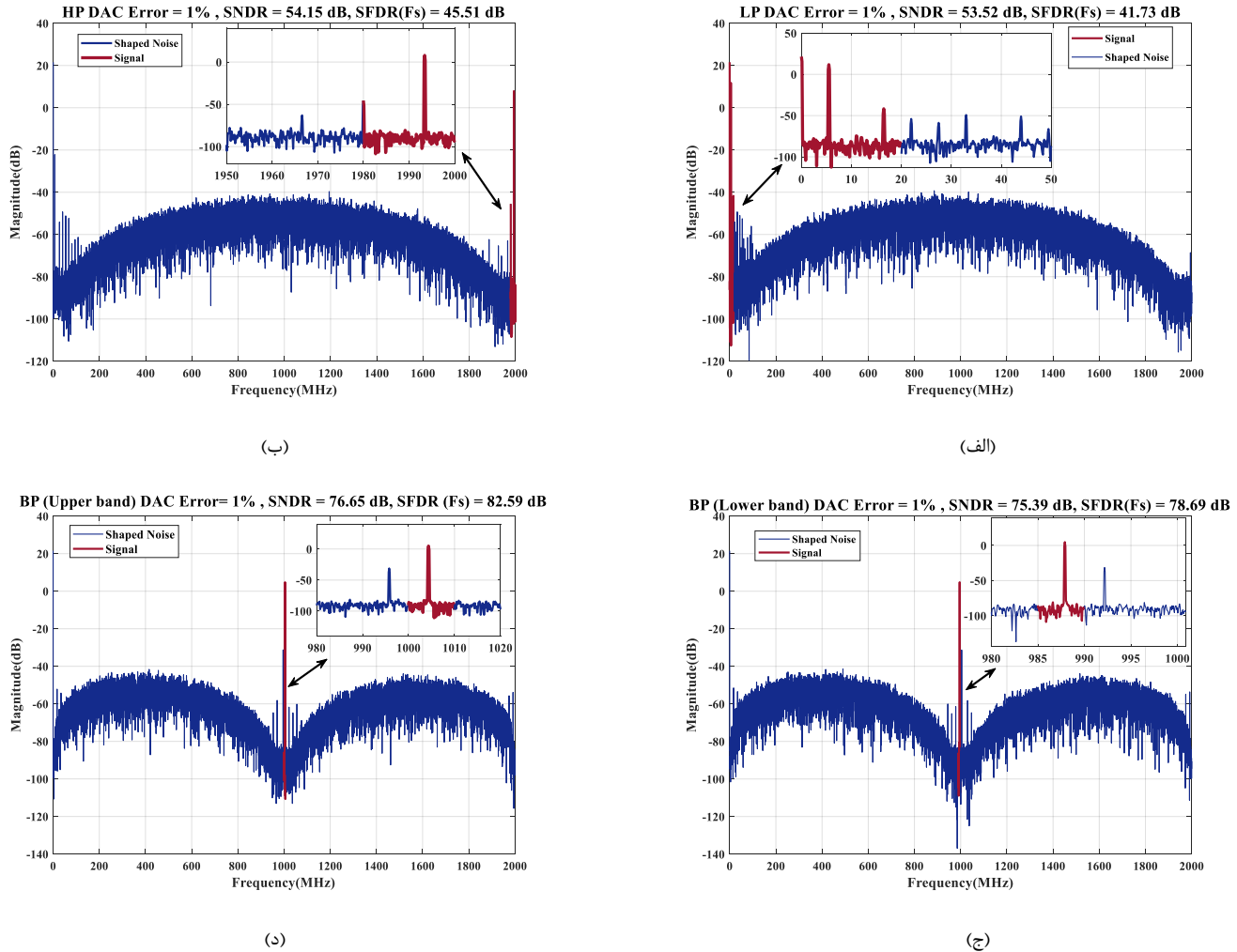
³ Number of Slice LUTs

⁴ Number of bonded IOBs

⁵ Number of BUFG/BUFGCTRLs

⁶ Number of TI-DSM Output Bits

بلوک DAC حاوی چندین سلول وزنی است که با روشن یا خاموش کردن سلول ها، جریان یا ولتاژ خروجی DAC را تعیین می کند. در حین اجرای این عملیات سوئیچینگ به دلیل عدم تطابق کامل جریانی یا ولتاژی میان سلول ها ممکن است خطایی در مقدار وزن هر سلول رخ دهد که به آن خطای عدم تطابق سلول های DAC می گویند.



شکل ۱۷: طیف فرکانس TI-DSM مرتبه دوم با یک درصد خطای عدم تطابق سلول DAC. Figure 17. Frequency spectrum of the second-order DSM with the DAC cell mismatch error of 1%.

۵-۱- مقایسه منابع استفاده شده در روش های مختلف جبران سازی DCE

به منظور شبیه سازی خطای عدم تطابق سلول های DAC در MATLAB، یک بلوک سلول DAC ۴ بیتی پس از قسمت DSM مدل سازی شده و مقادیر خطای یک درصد تا ۳ درصد به سلول ها اعمال می شود. نتایج شبیه سازی خطای یک درصد عدم تطابق سلول های DAC در شکل ۱۷ نشان داده شده است. در این مورد، مقدار SNDR برای مدولاتورهای LP، BP و HP به ترتیب برابر با ۵۳/۵۲، ۷۶/۶۵ و ۵۴/۱۵ dB است. جدول ۴ مقادیر SNDR را برای خطاهای ۱ تا ۳ درصد خلاصه کرده و نشان می دهد این خطا تا چه اندازه می تواند بر عملکرد DAC تأثیر بگذارد. همان طور که مشاهده می شود خطای عدم تطابق سلول های DAC باعث کاهش چشمگیر مقدار SNDR شده است.

جدول ۴: مقادیر SNDR برای درصدهای مختلف خطای عدم تطابق سلول‌های DAC با و بدون روش جبران‌سازی DWA.
Table 4. Simulation results of SNDR for different DAC error percentages with and without DWA compensation.

درصد خطای عدم تطابق سلول‌های DAC			روش جبران‌سازی	DAC آرمانی	حالت DSM
٪ ۳	٪ ۲	٪ ۱			
۳۶/۳۶	۳۹/۹۹	۵۳/۵۳	بدون جبران‌سازی	۱۰۶/۱۰	پایین‌گذر
۸۵/۷۶	۸۹/۲۳	۹۹/۸۵	جبران‌سازی DWA		
۴۳/۴۹	۴۷/۱۱	۷۶/۶۵	بدون جبران‌سازی	۱۰۵/۶۵	میان‌گذر
۸۴/۹۴	۸۸/۳۳	۹۸/۳۱	جبران‌سازی DWA		
۴۵/۹۶	۴۹/۵۷	۵۴/۱۵	بدون جبران‌سازی	۱۰۴/۹۵	بالا‌گذر
۸۴/۷۹	۸۸/۲۴	۹۹/۰۶	جبران‌سازی DWA		

۵-۲-جبران خطای عدم تطابق سلول‌های DAC

برای جبران خطای عدم تطابق سلول‌های DAC از روش تطبیق عنصر پویا (DEM) استفاده می‌شود [۳۲, ۳۳]. انواع مختلفی از روش‌های DEM وجود دارد. در ادامه دو روش مختلف DEM معرفی و استفاده می‌شود.

۵-۲-۱- روش میانگین‌گیری وزنی داده‌ها (چرخش عناصر)

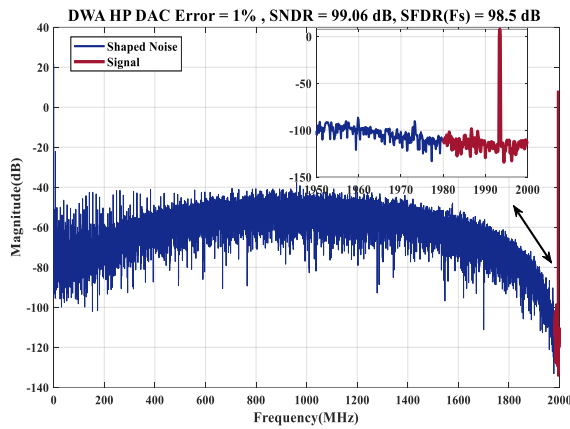
یکی از ساده‌ترین و در عین حال پر کاربردترین طرح‌های DEM، میانگین‌گیری وزنی داده‌ها (DWA) است که عناصر واحد را به صورت دوره‌ای انتخاب می‌کند. ویژگی اصلی DWA توانایی آن در شکل‌دادن به طیف خطای عدم تطابق به عنوان یک فیلتر HP برای LP-DSM است [۳۲]. در LP-DSM، روش DWA به عنوان یک فیلتر HP و در HP-DSM، به عنوان یک فیلتر LP عمل می‌کند. در این روش لازم است تغییرات سلول‌های کد قبلی برای حالت‌های مختلف اعداد در حافظه نگه داشته شده تا موقعیت شروع و جهت چرخش در تکرارهای بعدی به درستی مشخص شود [۳۱, ۳].

۵-۲-۲- نتایج شبیه‌سازی جبران عدم تطابق با استفاده از DWA

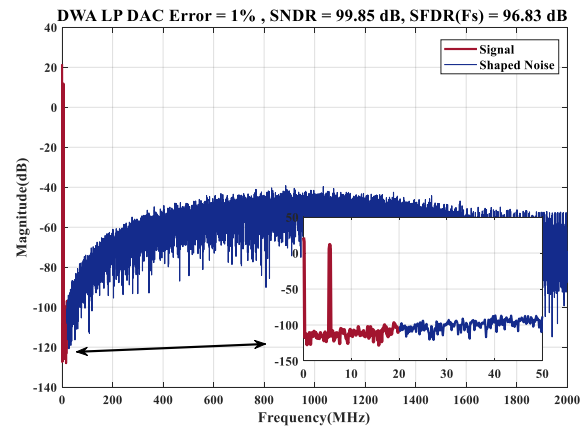
نتایج شبیه‌سازی استفاده از روش DWA برای جبران خطاهای عدم تطابق ۱، ۲ و ۳ درصد سلول‌های DAC در حالت‌های LP، BP و HP در جدول ۴ نشان داده شده است. شکل ۱۸ طیف خروجی DAC را برای ۱ درصد خطای اعمال شده پس از جبران‌سازی نشان می‌دهد.

۵-۲-۳- روش مرتب‌سازی تطبیق عناصر پویا (DEM مبتنی بر برداری)

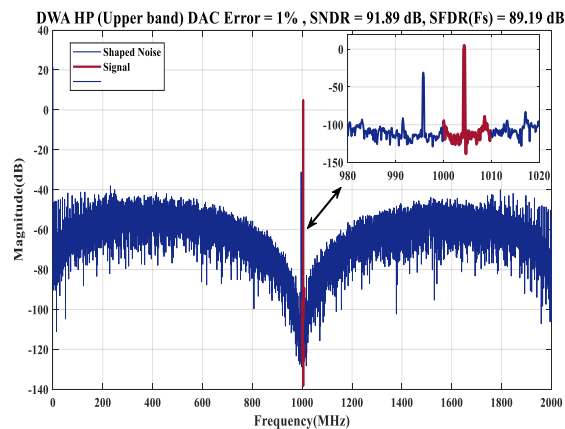
ایده فیلتر کردن خطای DAC در حوزه دیجیتال توسط R. Schreier [3] معرفی شد. این رویکرد در ادبیات مبدل‌های داده به عنوان «تشکیل عدم تطابق مبتنی بر برداری» یا «مرتب‌سازی تطبیق عناصر پویا» (SDEM) [31] نامیده می‌شود. در این روش از فیلتری بر اساس فرکانس مرکزی DAC برای انتخاب سلول‌های فعال استفاده می‌شود.



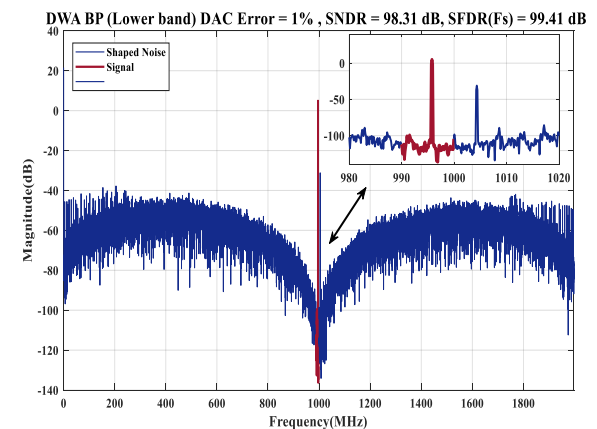
(ب)



(ف)



(د)



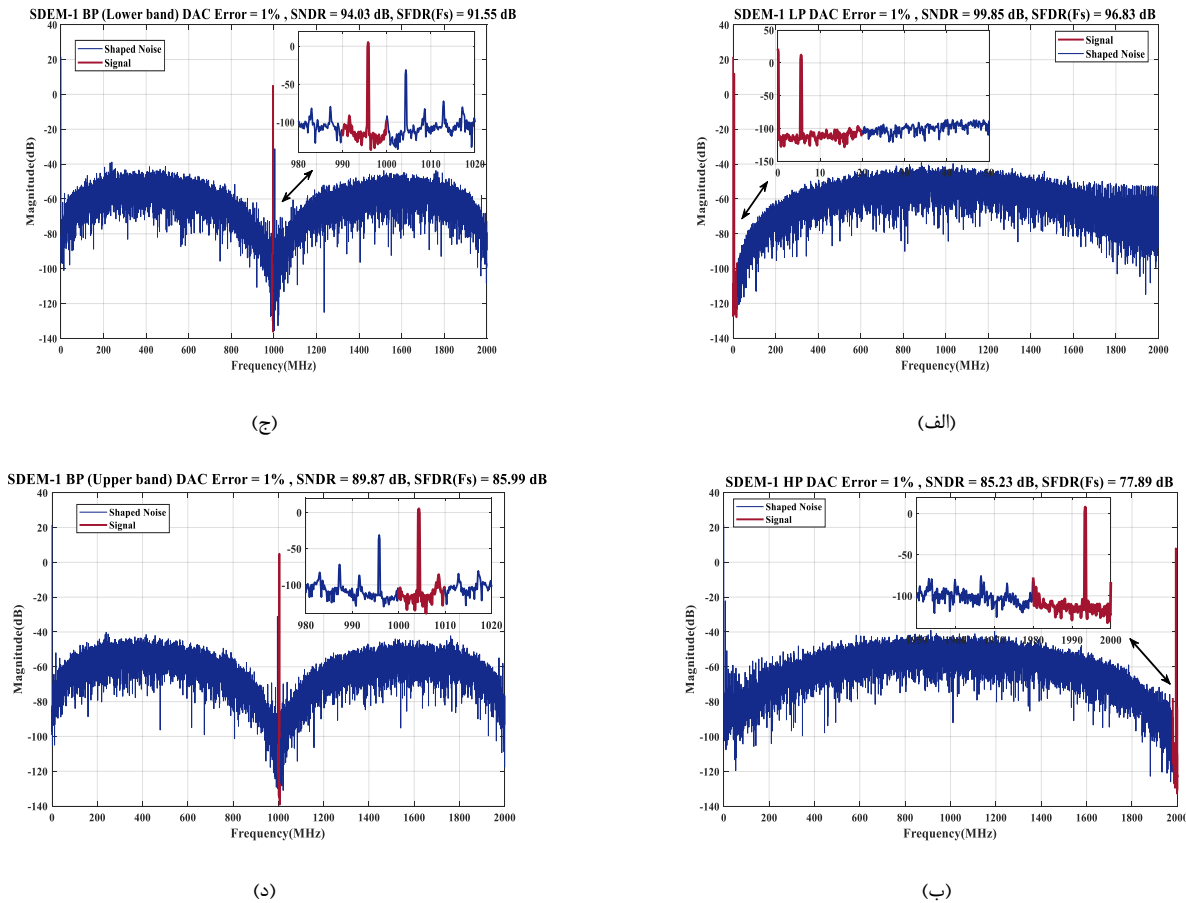
(ج)

شکل ۱۸: طیف فرکانس خروجی جبران شده به روش DWA به ازای یک درصد خطای عدم تطابق سلول های DAC برای حالت های (الف) LP، (ب) HP، (ج) قسمت پایینی BP و (د) قسمت بالایی BP.

Figure 18. Frequency spectrum of the second-order DSM with a DAC cell mismatch error of 1% and DWA compensation.

۵-۲-۴- نتایج شبیه سازی جبران عدم تطابق با استفاده از SDEM

نتایج شبیه سازی اثر خطای عدم تطابق سلول های DAC، اعمال روش SDEM با فیلتر مرتبه اول و فیلتر مرتبه دوم برای جبران خطاهای یک، ۲ و ۳ درصد عدم تطابق سلول های DAC در حالت های LP، BP و HP در جدول ۵ نشان داده شده است. شکل ۱۹ طیف خروجی DAC برای یک درصد خطای اعمال شده پس از جبران سازی به روش SDEM مرتبه اول را نشان می دهد. شکل ۲۰ نتایج شبیه سازی و طیف خروجی DAC برای یک درصد خطای اعمالی عدم تطابق سلول های DAC به روش SDEM با فیلتر مرتبه دوم برای جبران خطاهای یک، ۲ و ۳ درصد در حالت های LP، BP و HP نشان می دهد. با مقایسه نتایج روش های DWA و SDEM مرتبه اول و دوم می توان نتیجه گرفت که روش جبرانی مرتب سازی با فیلتر مرتبه دوم SNDR مورد نیاز را برای ۱۶ بیت ENOB فراهم می کند.



شکل ۱۹: طیف فرکانس خروجی جبران‌شده به روش SDEM مرتبه اول به ازای یک درصد خطای عدم تطابق سلول‌های DAC برای حالت‌های (الف) LP، (ب) HP، (ج) قسمت پایینی BP و (د) قسمت بالایی BP.

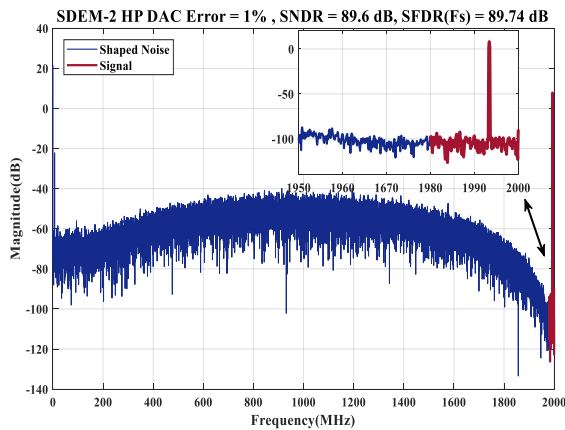
Figure 19. Frequency spectrum of the second-order DSM with 1% DAC cell mismatch error and compensation using the sorting method with a first-order filter.

جدول ۵: مقادیر SNDR برای درصدهای مختلف خطای عدم تطابق سلول‌های DAC بدون و با جبران‌سازی به روش SDEM مرتبه اول و دوم.

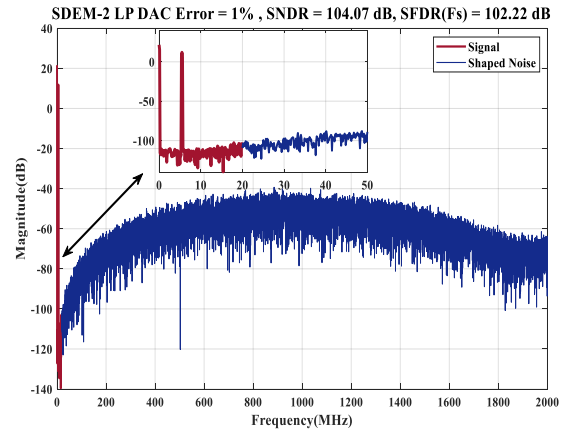
Table 5. SNDR values for 1%, 2%, and 3% DAC cell mismatch errors and compensation by first and second-order SDEM.

درصد خطای عدم تطابق سلول‌های DAC			روش جبران‌سازی	DAC آرمانی	حالت DSM
٪ ۳	٪ ۲	٪ ۱			
۳۶/۳۶	۳۹/۹۹	۵۳/۵۲	بدون جبران‌سازی	۱۰۶/۱۰	پایین گذر
۸۶/۸۹	۹۰/۳۲	۹۹/۸۵	مرتب‌سازی مرتبه اول		
۱۰۲/۲۱	۱۰۳/۵۰	۱۰۴/۰۷	مرتب‌سازی مرتبه دوم	۱۰۵/۶۵	میان گذر
۴۳/۴۹	۴۷/۱۱	۷۶/۶۵	بدون جبران‌سازی		
۷۵/۳۸	۷۹/۳۵	۹۴/۰۳	مرتب‌سازی مرتبه اول	۱۰۴/۹۵	بالا گذر
۱۰۰/۹۸	۱۰۳/۲۵	۹۵/۶۳	مرتب‌سازی مرتبه دوم		
۴۵/۹۶	۴۹/۵۷	۵۴/۱۵	بدون جبران‌سازی	۱۰۴/۹۵	بالا گذر
۷۱/۰۸	۷۴/۶۱	۸۵/۲۳	مرتب‌سازی مرتبه اول		
۹۹/۷۵	۱۰۱/۶۸	۸۹/۶۰	مرتب‌سازی مرتبه دوم		

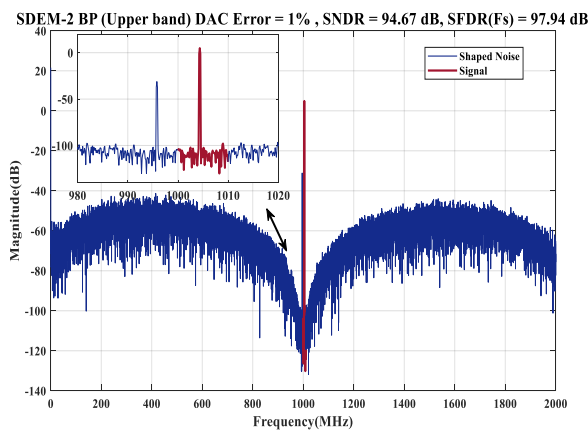
شکل ۲۱ منحنی محدوده‌ی پویایی^۱ (DR) مربوط به DSM را برای حالت‌های LP، BP باند پایین، BP باند بالایی و HP برای جبران‌سازی روش DWA نشان می‌دهد. نتایج شبیه‌سازی نشان می‌دهد که مقادیر حداکثر DR برای حالت‌های LP، باند پایین BP، باند بالایی BP و HP به ترتیب برابر با ۱۰۰/۵۰، ۱۰۰/۱۰، ۹۹/۴۰ و ۹۳/۲۰ dB است.



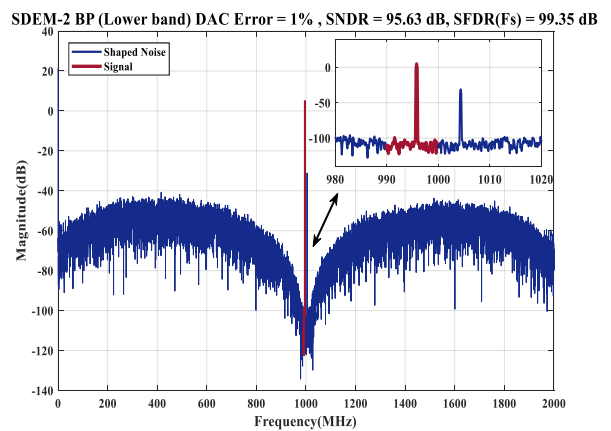
(ب)



(الف)



(د)



(ج)

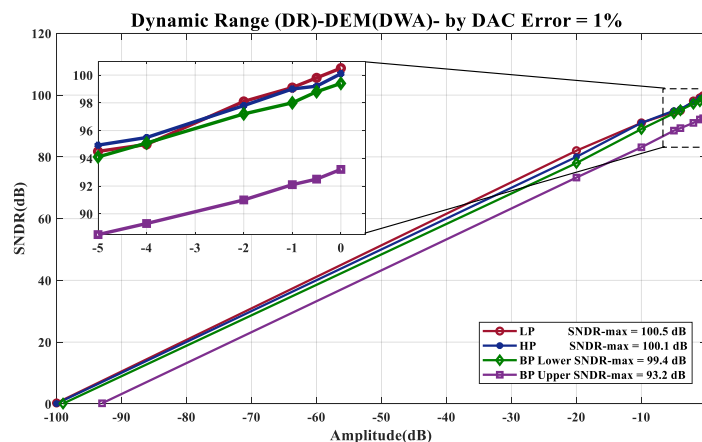
شکل ۲۰: طیف فرکانس خروجی جبران‌شده به روش SDEM مرتبه دوم به ازای یک درصد خطای عدم تطابق سلول‌های DAC برای حالت‌های (الف)

LP، (ب) HP، (ج) قسمت پایینی BP و (د) قسمت بالایی BP.

Figure 20. Frequency spectrum of the second-order DSM with 1% DAC cell mismatch error and compensation using the sorting method with a second-order filter.

¹ Dynamic Range

افزایش دامنه دینامیکی ورودی در یک سیستم مدولاتور دلتا-سیگما می تواند به طور قابل توجهی بر پارامترهای مختلف سیستم تأثیر بگذارد. در اینجا به برخی از تأثیرات اشاره شده است: نسبت سیگنال به نویز (SNR): محدوده دینامیکی گسترده تر می تواند SNR را بهبود بخشد، زیرا به سیستم اجازه می دهد تا سیگنال های بزرگ تر را بدون اعوجاج کنترل کند و در عین حال سطوح نویز کم را حفظ کند. وضوح کوانتایزر: ممکن است تعداد بیت های کوانتایزر افزایش یابد تا محدوده دینامیکی وسیع تری را در خود جای دهد، که می تواند وضوح و دقت سیستم را بهبود بخشد. نسبت نمونه برداری بیش از حد (OSR): با محدوده دینامیکی بالاتر، OSR را می توان بهینه کرد تا تعادل بین سرعت تبدیل و SNR ایجاد شود. مصرف توان: محدوده دینامیکی بالاتر اغلب به توان بیشتری نیاز دارد، به خصوص اگر وضوح کوانتایزر برای حفظ خطیگی در محدوده گسترده افزایش یابد. پیچیدگی مدار: پیچیدگی مدار ممکن است به دلیل نیاز به سخت افزار اضافی برای پردازش طیف وسیع تری از سیگنال های ورودی افزایش یابد. طراحی فیلتر: طراحی فیلترهای دیجیتال و آنالوگ در مدولاتور ممکن است نیاز به تنظیم داشته باشد تا بتواند طیف وسیع تری از سیگنال های ورودی را به طور موثر مدیریت کند.



شکل ۲۱: محدوده‌ی پویایی DSM پس از جبران سازی خطای عدم تطابق سلول های DAC به روش DWA برای حالت های LP, HP, قسمت پایینی BP و قسمت بالایی BP.

Figure 21. Dynamic range curve of DSM for LP, BP lower band, BP upper band, and HP modes using the DWA.

۶- نتیجه گیری

در این مقاله، یک مدولاتور دلتا سیگما درجه دوم (DSM) ۱۶ بیتی چند حالتی با ساختار TI در فرکانس ۴ گیگاهرتز و با پهنای باند ۲۰ مگاهرتز به زبان VHDL و مبتنی بر FPGA پیاده سازی شد. معماری پیشنهادی تنها از یک فرکانس ساعت برای تولید سیگنال های فرکانس رادیویی (RF) استفاده می کند. مدولاتور دلتا سیگما درجه دوم با توانایی تنظیم مجدد دارای سه حالت پایین گذر (LP)، میان گذر (BP) در فرکانس $F_s/4$ و بالاگذر (HP) برای سنتز سیگنال است. برای افزایش فرکانس نمونه برداری (F_s)، ساختار بهم ریخته زمانی (TI) ۴ کاناله پیشنهاد شد. هر کدام از کانال ها در فرکانس $F_s/4$ کار می کنند. از آنجایی که ضرایب ساده برای همه حالت ها وجود دارد، عملیات ضرب با استفاده از یک بلوک شیفت رانجام شد. این امر منجر به ساده سازی طراحی، مصرف انرژی کمتر، منطقه اشغالی کوچک تر و سرعت بالاتر شده است. یک چالش مهم در طراحی این نوع ساختارها، خطای چرخه وظیفه (DCE)، به ویژه در حالت بهم ریختگی زمانی است. به منظور بررسی اثر DCE و جبران سازی آن مقادیر خطای مختلف به مدولاتور اعمال و جبران سازی انجام شد. در این مقاله، با تنظیم مدار فیلتر و یک طرفه کردن باند فرکانسی عبور سیگنال بدون اضافه کردن سخت افزار اضافی و پیچیدگی مداری، برای غلبه بر اثر خطای DCE، راه حل جدیدی پیشنهاد شد. در این روش با حذف اثر تصویر سیگنال مقادیر SNDR و SFDR خروجی مدولاتور دلتا-سیگما حتی برای حالت BP به طور قابل توجهی افزایش یافت. روش استفاده از فیلتر TI-FIR در جبران سازی DCE در حالت های LP و HP موثر است، اما در

حالت BP موفقیت چندانی در جبران DCE ندارد. در حالی که روش جبران سازی پیشنهادی در جبران DCE حالت BP بسیار موثر بوده و نتایج را به طور چشمگیری بهبود می دهد تا حدی که به مقدار آرمانی نزدیک می شود. از آنجایی که در حالت BP مقدار SNDR پس از جبران سازی به روش پیشنهادی حدود ۹۵ dB بدست آمد، بنابراین تعداد بیت های موثر (ENOB) ۱۵/۵ بیت است. چالش دیگری که بر آن غلبه شد، خطای عدم تطابق سلول های DAC است. در این پژوهش این خطا به دو روش DWA و SDEM شبیه سازی و جبران سازی شد. نتایج شبیه سازی در ISE نشان داد که مقدار نسبت سیگنال به نویز و اعوجاج (SNDR) برای حالت های LP، BP و HP به ترتیب برابر با ۱۰۶/۱۰، ۱۰۵/۶۵ و ۱۰۴/۹۵ dB است.

مراجع

- [1] J. Mitola, "The software radio architecture," in *IEEE Communications Magazine*, vol. 33, no. 5, pp. 26-38, May 1995, doi: 10.1109/35.393001.
- [2] J. Mitola, "Cognitive Radio Architecture Evolution," in *Proceedings of the IEEE*, vol. 97, no. 4, pp. 626-641, April 2009, doi: 10.1109/JPROC.2009.2013012.
- [3] S. Pavan, R. Schreier and G. C. Temes, *Understanding delta-sigma data converters*. John Wiley & Sons, 2017.
- [4] A. Mahmoudi, P. Torkzadeh and M. Dousti, "A 5-bit 1.8 GS/s ADC-based receiver with two-tap low-overhead embedded DFE in 130-nm CMOS," *AEU - International Journal of Electronics and Communications*, vol. 89, pp. 6-14, 2018, doi: 10.1016/j.aeu.2018.03.005.
- [5] A. Bhide and A. Alvandpour, "An 11 GS/s 1.1 GHz Bandwidth Interleaved $\Delta\Sigma$ DAC for 60 GHz Radio in 65 nm CMOS," *IEEE Journal of Solid-State Circuits*, vol. 50, no. 10, pp. 2306-2318, 2015, doi: 10.1109/JSSC.2015.2460375.
- [6] P. T. M. V. Zeijl and M. Collados, "On the Attenuation of DAC Aliases Through Multiphase Clocking," *IEEE Transactions on Circuits and Systems II: Express Briefs*, vol. 56, no. 3, pp. 190-194, 2009, doi: 10.1109/TCSII.2009.2015365.
- [7] A. Silva, J. Guilherme and N. Horta, "Reconfigurable multi-mode sigma-delta modulator for 4G mobile terminals," *Integration*, vol. 42, no. 1, pp. 34-46, 2009, doi: 10.1016/j.vlsi.2008.07.004.
- [8] S. Luschas, R. Schreier and Hae-Seung Lee, "Radio frequency digital-to-analog converter," in *IEEE Journal of Solid-State Circuits*, vol. 39, no. 9, pp. 1462-1467, Sept. 2004, doi: 10.1109/JSSC.2004.829377.
- [9] A. Jerng and C. G. Sodini, "A Wideband $\Delta\Sigma$ Digital-RF Modulator for High Data Rate Transmitters," in *IEEE Journal of Solid-State Circuits*, vol. 42, no. 8, pp. 1710-1722, Aug. 2007, doi: 10.1109/JSSC.2007.900255.
- [10] M. S. Alavi, G. Voicu, R. B. Staszewski, L. C. N. de Vreede and J. R. Long, "A 2x13-bit all-digital I/Q RF-DAC in 65-nm CMOS," *IEEE Radio Frequency Integrated Circuits Symposium (RFIC)*, Seattle, WA, USA, 2013, pp. 167-170, doi: 10.1109/RFIC.2013.6569551.
- [11] P. E. Paro Filho, M. Ingels, P. Wambacq and J. Craninckx, "9.3 A transmitter with 10b 128MS/S incremental-charge-based DAC achieving -155dBc/Hz out-of-band noise," *IEEE International Solid-State Circuits Conference - (ISSCC) Digest of Technical Papers*, San Francisco, CA, USA, 2015, pp. 1-3, doi: 10.1109/ISSCC.2015.7062977.
- [12] A. Mahmoudi, P. Torkzadeh and M. Dousti, "A 6-Bit 1.5-GS/s SAR ADC With Smart Speculative Two-Tap Embedded DFE in 130-nm CMOS for Wireline Receiver Applications," *IEEE Transactions on Very Large Scale Integration (VLSI) Systems*, vol. 29, no. 5, pp. 871-882, 2021, doi: 10.1109/TVLSI.2021.3056316.

- [13] A. Pozsgay, T. Zounes, R. Hossain, M. Boulemlakher, V. Knopik and S. Grange, "A Fully Digital 65nm CMOS Transmitter for the 2.4-to-2.7GHz WiFi/WiMAX Bands using 5.4GHz $\Delta\Sigma$ RF DACs," *IEEE International Solid-State Circuits Conference - Digest of Technical Papers*, San Francisco, CA, USA, 2008, pp. 360-619, doi: 10.1109/ISSCC.2008.4523206.
- [14] S. Balasubramanian and W. Khalil, "Architectural trends in GHz speed DACs," *NORCHIP*, Copenhagen, Denmark, 2012, pp. 1-4, doi: 10.1109/NORCHIP.2012.6403097.
- [15] E. Bechthum, G. Radulov, J. Briaire, G. Geelen and A. V. Roermund, "9.6 A 5.3GHz 16b 1.75GS/S wideband RF Mixing-DAC achieving $\text{IMD} < -82\text{dBc}$ up to 1.9GHz," in *IEEE International Solid-State Circuits Conference - (ISSCC) Digest of Technical Papers*, Feb. 2015, pp. 1-3, doi: 10.1109/ISSCC.2015.7062980.
- [16] B. Razavi, "The future of radios," *IEEE International Symposium on Circuits and Systems (ISCAS)*, Lisbon, Portugal, 2015, pp. 1-8, doi: 10.1109/ISCAS.2015.7168556.
- [17] S. Balasubramanian et al., "Ultimate Transmission," in *IEEE Microwave Magazine*, vol. 13, no. 1, pp. 64-82, Jan.-Feb. 2012, doi: 10.1109/MMM.2011.2173983.
- [18] E. Bechthum, G. Radulov, J. Briaire, G. Geelen and A. v. Roermund, "Systematic analysis of the impact of mixing locality on Mixing-DAC linearity for multicarrier GSM," in *IEEE International Symposium on Circuits and Systems (ISCAS)*, 20-23 May 2012, pp. 241-244, doi: 10.1109/ISCAS.2012.6271784.
- [19] E. Bechthum, G. Radulov, J. Briaire, G. Geelen and A. V. Roermund, "A novel timing-error based approach for high speed highly linear Mixing-DAC architectures," in *IEEE International Symposium on Circuits and Systems (ISCAS)*, 1-5 June 2014, pp. 942-945, doi: 10.1109/ISCAS.2014.6865292.
- [20] M. R. Sadeghifar, H. Bengtsson, J. J. Wikner and O. Gustafsson, "Direct digital-to-RF converter employing semi-digital FIR voltage-mode RF DAC," *Integration*, vol. 66, pp. 128-134, 2019, doi: 10.1016/j.vlsi.2019.02.005.
- [21] S. Balasubramanian et al., "Systematic Analysis of Interleaved Digital-to-Analog Converters," *IEEE Transactions on Circuits and Systems II: Express Briefs*, vol. 58, no. 12, pp. 882-886, 2011, doi: 10.1109/TCSII.2011.2172526.
- [22] J. J. McCue et al., "A Time-Interleaved Multimode Delta Sigma RF-DAC for Direct Digital-to-RF Synthesis," *IEEE Journal of Solid-State Circuits*, vol. 51, no. 5, pp. 1109-1124, 2016, doi: 10.1109/JSSC.2016.2521903.
- [23] J. Pham and A. C. Carusone, "A Time-Interleaved Delta Sigma-DAC Architecture Clocked at the Nyquist Rate," *IEEE Transactions on Circuits and Systems II: Express Briefs*, vol. 55, no. 9, pp. 858-862, 2008, doi: 10.1109/TCSII.2008.923426.
- [24] D. Jiang, L. Qi, S. W. Sin, F. Maloberti and R. P. Martins, "A Time-Interleaved 2nd-Order $\Delta\Sigma$ Modulator Achieving 5-MHz Bandwidth and 86.1-dB SNDR Using Digital Feed-Forward Extrapolation," *IEEE Journal of Solid-State Circuits*, vol. 56, no. 8, pp. 2375-2387, 2021, doi: 10.1109/JSSC.2021.3060859.
- [25] S. Su, T. Tsai, P. K. Sharma and M. S. Chen, "A 12 bit 1 GS/s Dual-Rate Hybrid DAC With an 8 GS/s Unrolled Pipeline Delta-Sigma Modulator Achieving > 75 dB SFDR Over the Nyquist Band," *IEEE Journal of Solid-State Circuits*, vol. 50, no. 4, pp. 896-907, 2015, doi: 10.1109/JSSC.2014.2385752.
- [26] O. Eng Hwee, J. Kneckt, O. Alanen, Z. Chang, T. Huovinen and T. Nihtilä, "IEEE 802.11ac: Enhancements for very high throughput WLANs," in *IEEE 22nd International Symposium on Personal, Indoor and Mobile Radio Communications*, 11-14 Sept. 2011, pp. 849-853, doi: 10.1109/PIMRC.2011.6140087.
- [27] *High Rate 60 GHz PHY*, E.-. MAC and PALs, 2nd Edition, Dec. 2010.
- [28] *Wireless HD Specification VI.1 Overview*, W. H. S. V. Overview, 2010.

- [29] Y. Huo, X. Dong and W. Xu, "5G cellular user equipment: From theory to practical hardware design," *IEEE Access*, vol. 5, pp. 13992-14010, 2017, doi: 10.1109/ACCESS.2017.2727550.
- [30] H. A. Ameen *et al.*, "A 28 GHz four-channel phased-array transceiver in 65-nm CMOS technology for 5G applications," *AEU-International Journal of Electronics and Communications*, vol. 98, pp. 19-28, 2019, doi: 10.1016/j.aeue.2018.10.008.
- [31] R. López-Holloway and M. García, "A lowcomplexity data weighterd averaging (DWA) algorithm implementation," in *The XIII Workshop IBERCHIP IWS Workshop, Lima, Peru*, 2007.
- [32] N. A. Esmail, "New Techniques for Dynamic Matching in a Multi-Bit DAC For Sigma-Delta Converters," Doctoral Doctoral Information Sciences and Technologies of Telecommunications and Systems, 2006.
- [33] D. Li, C. Fei and Q. Zhang, "Analysis and Design of Low-Complexity Stochastic DEM Encoder for Reduced-Distortion Multi-bit DAC in Sigma-Delta Modulators," *Circuits, Systems, and Signal Processing*, vol. 40, no. 1, pp. 296-310, 2021, doi: 10.1007/s00034-020-01470-2.
- [34] H. Li *et al.*, "Real-Time 100-GS/s Sigma-Delta Modulator for All-Digital Radio-Over-Fiber Transmission," *Journal of Lightwave Technology*, vol. 38, no. 2, pp. 386-393, 2020, doi: 10.1109/JLT.2019.2931549.

COPYRIGHTS

©2025 by the authors. Published by the Islamic Azad University Bushehr Branch. This article is an open-access article distributed under the terms and conditions of the Creative Commons Attribution 4.0 International (CC BY 4.0) <https://creativecommons.org/licenses/by/4.0>

